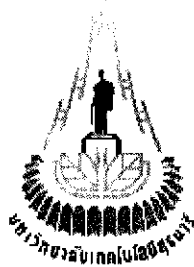




# CONTRIBUTION



## ถ่ายอากาศแคลว์ต้าดับเบลร่องตั้งฉากบนผิวทรงกระบอก (A Perpendicularly Slots Array on Cylindrical Surface)

โดย

นายณัฐพงษ์ โภบารมีกุล

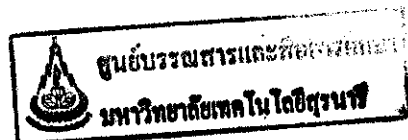
รหัสประจำตัว B4602569

นางสาวเมธินี ขำแจ้ง

รหัสประจำตัว B4607045

รายงานนี้เป็นส่วนหนึ่งของการศึกษาวิชา 427494 โครงการศึกษาวิศวกรรมโทรคมนาคม  
ประจำภาคการศึกษาที่ 3 ปีการศึกษา 2549

หลักสูตรวิศวกรรมศาสตร์บัณฑิต สาขาวิชาวิศวกรรมโทรคมนาคม หลักสูตรปรับปรุง  
พ.ศ. 2549 สำนักวิชาวิศวกรรมศาสตร์ มหาวิทยาลัยเทคโนโลยีสุรนารี



หัวข้อโครงการ	สายอากาศแ胄ล์ดับเบิลร่องตั้งฉากบนผิวทรงกระบอก		
	A Perpendicularly Slots Array on Cylindrical Surface		
จัดทำโครงการโดย	นายณัฐพงษ์ โภนารมีกุล	รหัสประจำตัว	B4602569
	นางสาวเมธินี ขำเจือง	รหัสประจำตัว	B4607045
อาจารย์ที่ปรึกษา	ผศ.ดร.รังสรรค์ วงศ์สรรค์		
สาขาวิชา	วิศวกรรมโทรคมนาคม		
ภาคการศึกษา	3/2549		

### บทคัดย่อ

สายอากาศส่งสัญญาณมีความจำเป็นอย่างมาก โดยเฉพาะการส่งสัญญาณโทรศัพท์ในปัจจุบัน ถ้าเราสามารถพัฒนาสายอากาศทรงกระบอกให้มีการโพลาไรซ์แบบวงกลม (Circular Polarization) ได้จะทำให้สายอากาศภาครับสามารถตรวจตัวในแนวใดก็ได้เพื่อที่รับสัญญาณจากสายอากาศภาคสัมผัส์ ทั้งนี้เนื่องจากการส่งสัญญาณโพลาไรซ์แบบวงกลม จะทำให้เกิดเวลาเตอร์สนามไฟฟ้าและเพื่อให้เกิดการโพลาไรซ์แบบวงกลมจึงทำการสร้างแ胄ล์ดับเบิลร่องตั้งฉาก โดยให้ร่องมีการหักตัวที่มุม 45 องศา กับแนวแกนของทรงกระบอกและตั้งฉากซึ่งกันและกันบนผิวทรงกระบอก ดังนั้นโครงการนี้จึงได้เสนอการออกแบบสายอากาศแ胄ล์ดับเบิลร่องตั้งฉากบนผิวทรงกระบอก สำหรับการส่งสัญญาณโทรศัพท์ โดยมีสมมติฐานว่า จะสามารถส่งสัญญาณออกไปในลักษณะโพลาไรซ์แบบวงกลม โดยใช้โปรแกรม Mathematica ในการจำลองแบบรูปการแผ่นกระจายกำลังงาน (Radiation Pattern)

## กิตติกรรมประกาศ

คุณความคือันได้ที่เกิดจากโครงการฉบับนี้ ขอขอบคุณบุคลากรค่า ผู้ที่เคยห่วงใยให้โอกาส  
ให้กำลังใจและให้การสนับสนุนทางการศึกษามาโดยตลอด

โครงการฉบับนี้สามารถสำเร็จลุล่วงไปได้ด้วยดี เนื่องจากได้รับความกรุณาจากอาจารย์ที่  
ปรึกษา อ.พศ.ดร.รังสรรค์ วงศ์สรรค์ ผู้ที่เป็นเจ้าของแนวคิดเริ่มแรกของสายอากาศแล้วลำดับแบบ  
ร่องดั้งเดิมผ่านผู้ทรงกระบอก เพื่อใช้เป็นสายอากาศสำหรับการส่งสัญญาณโทรศัพท์ที่ให้ความ  
ช่วยเหลือในการให้แนวคิด การดูแลเอาใจใส่ติดตามงาน ซึ่งแนะนำพกพร่องที่ข้าพเจ้ามองข้าม  
ตลอดจนฝึกฝนและสนับสนุนข้าพเจ้าให้มีความสามารถในการทำโครงการจนสามารถนำเสนอผล  
งานให้เป็นที่รู้จักและยอมรับได้

ขอขอบคุณผู้ที่เกี่ยวข้องอื่น ๆ ดังนี้

ขอขอบคุณ อาจารย์ประจำสาขาวิศวกรรมโทรคมนาคมทุกท่าน ที่สั่งสอนให้ความรู้ข้าพเจ้ามาโดย  
ตลอด คุณมีรัตน์ ทุมพงษ์ เอกานุการการประจำสาขาวิศวกรรมโทรคมนาคม ที่ให้ความสำคัญใน  
การติดต่อกับอาจารย์ คุณประพล จาระตะคุ วิศวกรประจำอาคารเครื่องมือ 3 ที่ช่วยเป็นธุระติดต่อสั่ง  
ซื้อวัสดุอุปกรณ์ที่จะนำมาสร้างสายอากาศ วิศวกรประจำอาคารเครื่องมือ 1 และวิศวกรประจำเครื่อง  
มือ 6 ที่เคยสอนการใช้เครื่องมือแต่ละประเภท รวมไปถึงการให้คำแนะนำและการช่วยทำสาย  
อากาศ พื่นักศึกษาปริญญาโทวิศวกรรมโทรคมนาคมและเพื่อนักศึกษาสาขาวิศวกรรมโทร  
คมนาคมทุกคนที่ให้การสนับสนุน และท้ายที่สุดน้องนักศึกษาสาขาวิศวกรรมโทรคมนาคมทุกคนที่  
เป็นกำลังใจให้มาโดยตลอด

นายณัฐพงษ์ โtopicารมีกุล  
นางสาวเมธินี จำเจง

## สารบัญ

หน้า

บทคัดย่อ	๑
กิตติกรรมประกาศ	๔
สารบัญ	๕
สารบัญรูป	๖
สารบัญตาราง	๗

### **บทที่ 1 บทนำ**

1.1 คลาวนำ	๑
1.2 วัสดุประสงค์ของโครงงาน	๒
1.3 ขอบเขตการทำงาน	๒
1.4 ขั้นตอนการดำเนินงาน	๒

### **บทที่ 2 ทฤษฎีสายอากาศและด้านแบบร่องตั้งฉากบนผิวทรงกระบอก**

2.1 คลาวนำ	๓
2.2 ท่อน้ำคลื่นแบบวงกลม (Circular Waveguide)	๔
2.3 โพรงวงกลม (Circular Cavity)	๗
2.4 สายอากาศแบบร่องบนผิวทรงกระบอก (Slotted Cylinder)	๙
2.4.1 สายอากาศแบบร่องในแนวแกนตั้ง	๙
2.4.2 สายอากาศแบบร่องในแนวเฉียง	๑๐
2.5 การจำลองแบบรูปการแผ่กระจายกำลังงาน โดยใช้โปรแกรม Mathematica	๑๑
2.6 สรุป	๑๓

## สารบัญ (ต่อ)

หน้า

### บทที่ 3 การออกแบบและสร้างสายอากาศ

3.1 ขั้นตอนการออกแบบและสร้างสายอากาศ	14
3.1.1 การคำนวณหาค่าความยาวคลื่น	14
3.1.2 การปรับระดับความสูงของท่ออะลูมิเนียม	15
3.1.3 การเจาะร่องบนผิวทรงกระบอก	17
3.1.4 การทำไฟรับเพื่อใช้ในการเหนี่ยวนำกำลังงาน	19
3.2 สรุป	20

### บทที่ 4 สรุปผลการทดลองและเปรียบเทียบผลการทดลองกับการออกแบบ

4.1 ขั้นตอนการวัดค่าพารามิเตอร์ต่างๆ ของสายอากาศ	22
4.1.1 ขั้นตอนการวัดค่า $S_{11}$ ของสายอากาศแบบร่องจำนวน 1 ร่อง	22
4.1.2 ขั้นตอนการวัดค่า $S_{11}$ ของสายอากาศแบบร่องจำนวน 2 ร่อง	23
4.1.3 การวัดความกว้างແฉบของสายอากาศ	24
4.2 การวัดแบบสรุปการแผ่กระจายกำลังงานของสายอากาศ	25
4.3 อัตราขยายของสายอากาศ	31
4.4 สรุป	32

### บทที่ 5 บทสรุปและข้อเสนอแนะ

5.1 บทสรุป	33
5.2 ข้อเสนอแนะ	33

บรรณานุกรม 34

ประวัติผู้เขียน 35

## สารบัญ

	หน้า
2-1 สายอากาศโดยแยกเชิงล	3
2-2 ท่อน้ำคั่นแบบวงกลม	4
2-3 โครงวงกลม	7
2-4 สายอากาศแบบร่องในแนวแกนตั้งบนผิวทรงกระบอก	9
2-5 สายอากาศแบบร่องในแนวเฉียงบนผิวทรงกระบอก	10
2-6 แสดงแบบรูปการแผ่กระจายกำลังงานโดยใช้โปรแกรม Mathematica	13
3-1 แสดงแบบจำลองท่ออะลูมิเนียมซึ่งมีตัวปรับระดับความสูงของท่อ	15
3-2 กราฟแสดงความสัมพันธ์ระหว่างความยาวของท่อและความถี่ที่ใช้	15
3-3 แสดงตำแหน่งที่มีค่าสูงที่สุดที่เกิดขึ้นภายในท่ออะลูมิเนียม	16
3-4 แสดงแบบจำลองระยะห่างระหว่างร่องทึ้งสอง	16
3-5 เครื่องสปาร์ค	17
3-6 แสดงแบบจำลองขนาดของทองแดงที่ใช้เป็นตัวอิเล็กโทรด	17
3-7 แสดงการวางตัวของอิเล็กโทรดบนผิวทรงกระบอก	18
3-8 สายอากาศแคลดับแบบร่องตั้งคาดบนผิวทรงกระบอกที่เสริมสมบูรณ์	18
3-9 แสดงแบบจำลองลักษณะของไฟฟ้าที่ใช้	19
3-10 แสดงแบบจำลองการวางไฟฟ้าภายในท่ออะลูมิเนียม	19
4-1 เครื่องมือวิเคราะห์โครงข่าย	21
4-2 แสดงค่า $S_{11}$ ของสายอากาศแบบร่องจำนวน 1 ร่อง	22
4-3 แสดงค่า $S_{11}$ ของสายอากาศแบบร่องจำนวน 2 ร่อง	23
4-4 แสดงความกว้างแบบของสายอากาศแบบร่องจำนวน 2 ร่อง	24
4-5 แสดงการต่ออุปกรณ์ในการวัดการลดตอนในสาย	25
4-6(ก) แสดงแบบจำลองการต่ออุปกรณ์ในการวัดค่าการรับสัญญาณในระบบสนามไฟฟ้า	26
4-6(ข) แสดงแบบจำลองการต่ออุปกรณ์ในการวัดค่าการรับสัญญาณในระบบสนามแม่เหล็ก	26
4-7(ก) แสดงการต่ออุปกรณ์ในการวัดแบบรูปการแผ่กระจายกำลังงานในระบบสนามไฟฟ้า	27
4-7(ข) แสดงการต่ออุปกรณ์ในการวัดแบบรูปการแผ่กระจายกำลังงานในระบบสนามแม่เหล็ก	27
4-8(ก) แสดงแบบรูปการแผ่กระจายกำลังงานจากการวัดด้วยเครื่องมือวิเคราะห์โครงข่าย	28
ในระบบสนามไฟฟ้า	28

## สารบัญรูป (ต่อ)

หน้า

4-8(ข) แสดงแบบรูปการเผยแพร่กระจายกำลังงานจากการวัดด้วยเครื่องมือวิเคราะห์โครงข่าย ในระบบสนับสนุนแม่เหล็ก	28
4-9 แสดงแบบรูปการเผยแพร่กระจายกำลังงานจากโปรแกรม Mathematica	29
4-10 แสดงการทดสอบการพัฒนาสายอากาศให้มีการโพลาไรซ์แบบวงกลม	29
4-11 แสดงผลการทดสอบการโพลาไรซ์แบบวงกลม	30

## สารบัญตาราง

หน้า

- |  |   |
|--|---|
| 2-1 ค่ารากของ Bessel Function $J_m(x)$ สำหรับโหมด TE : $J_m(x_{mn}) = 0(n = 1, 2, 3, \dots)$ | 5 |
| 2-2 ค่ารากของ Bessel Function $J_m(x)$ สำหรับโหมด TM : $J_m(x_{mn}) = 0(n = 1, 2, 3, \dots)$ | 6 |

## บทที่ 1

### บทนำ

#### 1.1 กล่าวนำ

โดยปกติการส่งสัญญาณ โทรทัศน์นั้นจะมีการส่งสัญญาณในลักษณะ โพลาไรซ์แบบเชิงเส้น (Linear Polarization) ทำให้สายอากาศภาครับต้องมีการวางตัวในแนวเดียวกับภาคส่ง โดยไม่สามารถเปลี่ยนแปลงได้ แต่ในปัจจุบันการใช้วิธีของบุคคลส่วนใหญ่อาจจะต้องอยู่บนรถเป็นส่วนใหญ่จึงอาจต้องการรับชมข่าวสาร บันเทิง ดังนั้นจึงมีการติดตั้ง โทรทัศน์ภายในรถแต่ก็เกิดปัญหาในการรับสัญญาณภาพ เนื่องจากเมื่อรถวิ่งจะไม่สามารถรับชมภาพได้ชัดเจนหรืออาจจะรับชมไม่ได้เลย เพราะว่าในขณะที่รถวิ่งนั้นสายอากาศภาครับอาจจะวางตัวในแนวที่ไม่ตรงกันกับสายอากาศภาคส่ง ดังนั้นสายอากาศภาคส่งที่สามารถส่งสัญญาณได้ไม่ว่าสายอากาศภาครับจะวางตัวในแนวใดก็ตาม จึงทำให้ผู้รับชมรับฟังได้ ดังนั้นการพัฒนาอุปกรณ์เพื่อส่งสัญญาณ โทรทัศน์ ให้สามารถใช้งานได้อย่างมีประสิทธิภาพสูงสุดนั้นมีความสำคัญอย่างยิ่ง ด้วยเหตุนี้สายอากาศสำหรับส่งสัญญาณ โทรทัศน์จึงเป็นอุปกรณ์ที่เข้ามีบทบาทสำคัญอย่างยิ่ง

ปัจจุบันสายอากาศที่มีการใช้งานอยู่นั้น โดยทั่วไปแล้วภาคส่งจะมีการส่งสัญญาณที่มีการโพลาไรซ์แบบเชิงเส้น จึงทำให้สายอากาศภาครับต้องมีการวางตัวในแนวเดียวกับภาคส่ง โดยไม่สามารถเปลี่ยนแปลงได้ ดังนั้นโครงงานฉบับนี้จึงได้จัดทำขึ้นเพื่อสร้างสายอากาศ เพื่อเป็นแนวทางในการผลิตสายอากาศ โดยได้นำการศึกษาและออกแบบสายอากาศซึ่งถูกตั้งชื่อว่า สายอากาศแบบตั้งแฉดแบบร่องตั้งฉากบนผิวทรงกระบอก (A Perpendicularly Slots Array on Cylindrical Surface) ดังนั้นจึงมีการปรับเปลี่ยนให้สายอากาศภาคส่งมีการส่งสัญญาณในลักษณะ โพลาไรซ์แบบเส้นตรง โดยจุดเด่นของสายอากาศที่มีการโพลาไรซ์แบบวงกลมเมื่อใช้เป็นสายอากาศภาคส่ง ก็คือลักษณะของแบบรูปการแผ่กระจายกำลังงาน (Radiation Pattern) ที่มีลักษณะแผ่กระจายกำลังงานอกรอบตัวสายอากาศ ซึ่งมีการโพลาไรซ์ที่มีมุมหมุนครบทั้ง 360 องศา ทำให้เครื่องรับสามารถรับสัญญาณได้ไม่ว่าสายอากาศภาครับจะมีการวางตัวอยู่ทิศทางใดก็ตาม จึงทำให้สายอากาศภาครับสามารถรับสัญญาณได้อย่างมีประสิทธิภาพ

## 1.2 วัตถุประสงค์ของโครงการ

- 1.2.1 เพื่อศึกษาทฤษฎีและออกแบบแบบส่ายอากาศแคลคูลัสแบบร่องตั้งจากนิพิวนกรระบบทอค
- 1.2.2 เพื่อศึกษาการเขียนโปรแกรมสำเร็จรูป Mathematica ในการจำลองแบบรูปการແຜ;  
กระจายกำลังงาน
- 1.2.3 เพื่อสร้างส่ายอากาศแคลคูลัสแบบร่องตั้งจากนิพิวนกรระบบทอค

## 1.3 ขอบเขตของงาน

- 1.3.1 ศึกษาสายอากาศทรงกระบอก ที่ใช้งานในปัจจุบัน
- 1.3.2 ศึกษาการใช้โปรแกรมสำเร็จรูป Mathematica ในการจำลองแบบรูปการແຜ;  
กระจายกำลังงาน
- 1.3.3 สร้างส่ายอากาศต้นแบบ ที่มีการวางแผนตัวของร่อง ในแนวตั้งจากช่องกั้นและกันโดยได้จาก  
การวิเคราะห์ของโปรแกรม Mathematica
- 1.3.4 วัดและเปรียบเทียบผลที่ได้จากโปรแกรมสำเร็จรูป Mathematica

## 1.4 ขั้นตอนการดำเนินงาน

- 1.4.1 วางแผนดำเนินการ ศึกษาการทำงานของโปรแกรม Mathematica
- 1.4.2 ใช้โปรแกรม Mathematica จำลองแบบรูปการແຜ;  
กระจายกำลังงาน
- 1.4.3 สร้างส่ายอากาศต้นแบบ
- 1.4.4 วัดทดสอบเพื่อเปรียบเทียบแบบรูปการແຜ;  
กระจายกำลังงานกับ โปรแกรม Mathematica

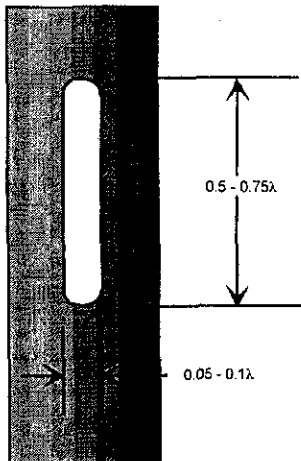
## บทที่ 2

### ทฤษฎีสายอากาศและลำดับแบบร่องตั้งฉากบนผิวทรงกระบอก

#### 2.1 คลื่นนำ

ปัจจุบันภายในตลาดมีสายอากาศที่ใช้ในย่านความถี่ UHF 3 ชนิด คือแบบร่อง (Slot), พานิล (Panel) และชูปเปอร์เทิร์นสตีล (Super turnstile) แต่ในรายงานฉบับนี้จะกล่าวถึงชนิดของสายอากาศที่เป็นแบบร่อง

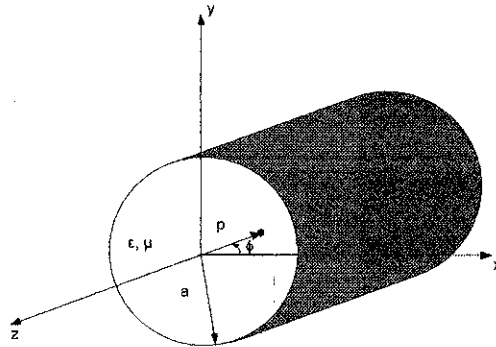
ชนิดของสายอากาศที่ใช้ในย่านความถี่ UHF ซึ่งใช้ในการเผยแพร่กระจายคลื่น โทรทัศน์ที่รู้จักกันดีคือสายอากาศแบบร่อง โดยมีการโพลาไรซ์แบบเด็นตรง คือมีการวางตัวสายอากาศในแนวตั้ง (Vertical) หรือวางตัวสายอากาศในแนวอน (Horizontal) ก็ได้ ขึ้นอยู่กับการวางตัวของสายอากาศ ภาคส่วน เนื่องจากสายอากาศภาครับและสายอากาศภาคต่อจะต้องวางอยู่ในระนาบเดียวกันจึงจะสามารถรับสัญญาณได้ ซึ่งในปัจจุบันส่วนใหญ่จะใช้สายอากาศโโคแอกเชียลหรือสายอากาศแบบแกนร่วม (Coaxial Antenna) ดังแสดงในรูปที่ 2-1



รูปที่ 2-1 สายอากาศโโคแอกเชียล

## 2.2 ท่อนำคลื่นแบบวงกลม (Circular Waveguide) [1]

ท่อนำคลื่นแบบวงกลมเราจะพิจารณาที่ภาคตัดขวางของท่อ โดยจะแยกพิจารณาเป็นโหมด TE และ TM ซึ่งกำหนดให้คลื่นเดินทางในทิศทาง +Z และท่อมีรัศมีเท่ากับ  $a$  โดยกำหนดให้  $\epsilon_r$  และ  $\mu_r$  มีค่าเท่ากับ 1 ดังแสดงในรูปที่ 2-2



รูปที่ 2-2 ท่อนำคลื่นแบบวงกลม

ในแต่ละ โหมดจะสรุปสูตรสำเร็จเพื่อนำไปใช้ในการคำนวณ

### 2.2.1 TE Modes

สมการส่วนประกอบของสนามไฟฟ้าและสนามแม่เหล็กมีดังนี้

$$E_\rho^+ = \frac{1}{\epsilon} \frac{\partial F_z^+}{\partial \phi} = -A_{mn} \frac{m}{\epsilon \rho} J_m(\beta_\rho \rho) [-C_2 \sin(m\phi) + D_2 \cos(m\phi)] e^{-j\beta_z z} \quad (2-1\alpha)$$

$$E_\phi^+ = \frac{1}{\epsilon} \frac{\partial F_z^+}{\partial \rho} = A_{mn} \frac{\beta_\rho}{\epsilon} J'_m(\beta_\rho \rho) [C_2 \cos(m\phi) + D_2 \sin(m\phi)] e^{-j\beta_z z} \quad (2-1\beta)$$

$$E_z^+ = 0 \quad (2-1\gamma)$$

$$H_\rho^+ = -j \frac{1}{\omega \mu \epsilon} \frac{\partial^2 F_z^+}{\partial \rho \partial z} = -A_{mn} \frac{\beta_\rho \beta_z}{\omega \mu \epsilon} J'_m(\beta_\rho \rho) [C_2 \cos(m\phi) + D_2 \sin(m\phi)] e^{-j\beta_z z} \quad (2-1\delta)$$

$$H_\phi^+ = -j \frac{1}{\omega \mu \epsilon} \frac{1}{\rho} \frac{\partial^2 F_z^+}{\partial \phi \partial z} = -A_{mn} \frac{m \beta_z}{\omega \mu \epsilon} \frac{1}{\rho} J_m(\beta_\rho \rho) \times [-C_2 \sin(m\phi) + D_2 \cos(m\phi)] e^{-j\beta_z z} \quad (2-1\epsilon)$$

$$H_z^+ = -j \frac{1}{\omega \mu \epsilon} \left( \frac{\partial^2}{\partial z^2} + \beta^2 \right) F_z^+ = -j A_{mn} \frac{\beta_\rho^2}{\omega \mu \epsilon} J_m(\beta_\rho \rho) \times [C_2 \cos(m\phi) + D_2 \sin(m\phi)] e^{-j\beta_z z} \quad (2-1\text{d})$$

สามารถหาค่าความถี่ตัด (Cutoff - frequency) ได้จาก

$$(f_c)_{mn} = \frac{x_{mn}}{2\pi a \sqrt{\mu \epsilon}} \quad (2-2)$$

สามารถดูค่า  $x_{mn}$  จากตารางที่ 2-1

ตารางที่ 2-1 แสดงค่ารากของ Bessel Function  $J_m(x)$  สำหรับโหมด TE:  $J_m(x_{mn})=0$  ( $n=1,2,3,\dots$ )

	$m = 0$	$m = 1$	$m = 2$	$m = 3$	$m = 4$	$m = 5$	$m = 6$
$n = 1$	3.8318	1.8412	3.0542	4.2012	6.4155	7.5013	8.5777
$n = 2$	7.0156	5.3315	6.7062	8.0153	10.5199	11.7349	12.9324
$n = 3$	10.1735	8.5363	9.9695	11.3459	13.9872	15.2682	16.5294
$n = 4$	13.3237	11.7060	13.1704	14.5859	17.3129	18.6375	19.9419

โดยที่  $J_m(x)$  คือ Bessel functions of first kind

## 2.2.2 TM Modes

สมการส่วนประจุของสนามไฟฟ้าและสนามแม่เหล็กได้ดังนี้

$$E_\rho^+ = -j \frac{1}{\omega \mu \epsilon} \frac{\partial^2 A_z^+}{\partial \rho \partial z} = -B_{mn} \frac{\beta_\rho \beta_z}{\omega \mu \epsilon} J_m(\beta_\rho \rho) [C_2 \cos(m\phi) + D_2 \sin(m\phi)] e^{-j\beta_z z} \quad (2-3\text{n})$$

$$\begin{aligned} E_\phi^+ &= -j \frac{1}{\omega \mu \epsilon} \frac{1}{\rho} \frac{\partial^2 A_z^+}{\partial \phi \partial z} \\ &= -B_{mn} \frac{m \beta_z}{\omega \mu \epsilon \rho} J_m(\beta_\rho \rho) [-C_2 \sin(m\phi) + D_2 \cos(m\phi)] e^{-j\beta_z z} \end{aligned} \quad (2-3\text{u})$$

$$\begin{aligned} E_z^+ &= -j \frac{1}{\omega \mu \epsilon} \left( \frac{\partial^2}{\partial z^2} + \beta^2 \right) A_z^+ \\ &= -j B_{mn} \frac{\beta_\rho^2}{\omega \mu \epsilon} J_m(\beta_\rho \rho) [C_2 \cos(m\phi) + D_2 \sin(m\phi)] e^{-j\beta_z z} \end{aligned} \quad (2-3\text{v})$$

$$H_{\rho}^{+} = \frac{1}{\mu} \frac{1}{\rho} \frac{\partial A_z^+}{\partial \phi} = -B_{mn} \frac{m}{\mu} \frac{1}{\rho} J_m(\beta_{\rho} \rho) [-C_2 \sin(m\phi) + D_2 \cos(m\phi)] e^{-j\beta_z z} \quad (2-34)$$

$$H_{\phi}^{+} = -\frac{1}{\mu} \frac{\partial A_z^+}{\partial \rho} = -B_{mn} \frac{\beta_{\rho}}{\mu} J'_m(\beta_{\rho} \rho) [C_2 \cos(m\phi) + D_2 \sin(m\phi)] e^{-j\beta_z z} \quad (2-35)$$

$$H_z^+ = 0 \quad (2-36)$$

สามารถหาค่าความถี่ตัด (Cutoff - frequency) ได้จาก

$$(f_c)_{mn} = \frac{x_{mn}}{2\pi a \sqrt{\mu \epsilon}} \quad (2-4)$$

สามารถดูค่า  $x_{mn}$  จากตารางที่ 2-2

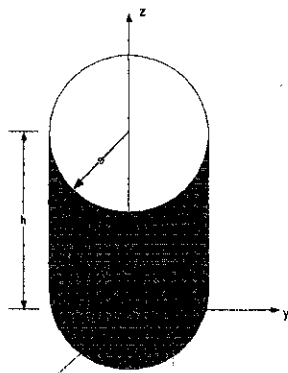
ตารางที่ 2-2 แสดงค่ารากของ Bessel Function  $J_n(x)$  สำหรับ ใหม่  $TM: J_m(x_{mn})=0$  ( $n=1,2,3,\dots$ )

	$m = 0$	$m = 1$	$m = 2$	$m = 3$	$m = 4$	$m = 5$	$m = 6$
$n = 1$	2.4049	3.8318	5.1357	6.3802	7.5884	8.7715	9.9361
$n = 2$	5.5201	7.0156	8.4173	9.7610	11.0647	12.3386	13.5893
$n = 3$	8.6537	10.1735	11.6199	13.0152	14.3726	15.7002	17.0038
$n = 4$	11.7915	13.3237	14.7960	16.2235	17.6160	18.9801	20.3208

โดยที่  $J_m(x)$  คือ Bessel functions of first kind

## 2.3 โพรงวงกลม (Circular Cavity) [2]

โพรงวงกลม เป็นห้องน้ำคิลีนที่มีลักษณะเป็นห้องท่อที่มีปลายปิดทั้งสองด้าน ดังแสดงในรูปที่ 2-3 ซึ่งตัวที่ใช้หนี่บานนำภายในห้อง (สายอากาศ) นั้นจะเป็นโพรง ซึ่งกำหนดให้คิลีนเดินทางในทิศทาง  $+z$  และห้องมีรัศมีเท่ากับ  $a$  โดยจะแยกพิจารณาเป็น โหมด TE และ TM เนื่องเดียวกันกับห้องน้ำคิลีนแบบวงกลม



รูปที่ 2-3 โพรงวงกลม

### 2.3.1 TE Modes

สมการสานานสามารถเขียนเป็นผลสำเร็จได้

$$F_z(\rho, \phi, z) = A_{mn} J_m(\beta_\rho \rho) [C_2 \cos(m\phi) + D_2 \sin(m\phi)] \sin(\beta_z z) \quad (2-5)$$

สามารถหาความถี่共振 frequency (Resonant frequency) ได้จาก

$$(f_r)_{mnp}^{\text{TE}} = \frac{1}{2\pi\sqrt{\mu\varepsilon}} \sqrt{\left(\frac{x_{mn}}{a}\right)^2 + \left(\frac{p\pi}{h}\right)^2} \quad \begin{array}{l} \text{เมื่อ } \\ m=0,1,2,3,\dots \\ n=1,2,3,\dots \\ p=1,2,3,\dots \end{array} \quad (2-6)$$

หรือ

$$\beta_\rho^2 + \beta_z^2 = \left(\frac{x_{mn}}{a}\right)^2 + \left(\frac{p\pi}{h}\right)^2 = \beta_r^2 = \omega_r^2 \mu\varepsilon \quad (2-7)$$

ค่า  $x_{mn}$  สามารถดูได้จากตารางที่ 2.1

### 2.3.2 TM Modes

สมการสนามสามารถเขียนเป็นผลสำเร็จได้

$$A_z(\rho, \phi, z) = B_{mn} J_m(\beta_\rho \rho) [C_2 \cos(m\phi) + D_2 \sin(m\phi)] \cos(\beta_z z) \quad (2-8)$$

สามารถหาความถี่เรโซนันซ์ได้จาก

$$(f_r)_{mnp}^{\text{TM}^2} = \frac{1}{2\pi\sqrt{\mu\epsilon}} \sqrt{\left(\frac{x_{mn}}{a}\right)^2 + \left(\frac{p\pi}{h}\right)^2} \quad \begin{array}{l} m = 0, 1, 2, 3, \dots \\ \text{เมื่อ} \quad n = 1, 2, 3, \dots \\ \quad p = 1, 2, 3, \dots \end{array} \quad (2-9)$$

หรือ

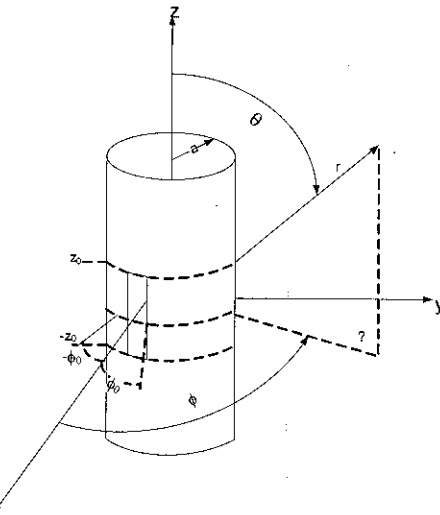
$$\beta_\rho^2 + \beta_z^2 = \left(\frac{x_{mn}}{a}\right)^2 + \left(\frac{p\pi}{h}\right)^2 = \beta_r^2 = \omega_r^2 \mu\epsilon \quad (2-10)$$

ค่า  $x_{mn}$  สามารถดูได้จากตารางที่ 2.2

## 2.4 สายอากาศแบบร่องบนผิวทรงกระบอก (Slotted Cylinder) [3]

### 2.4.1 สายอากาศแบบร่องในแนวแกนตั้ง

สายอากาศแบบร่องในแนวแกนตั้ง ดังแสดงในรูปที่ 2-4



รูปที่ 2-4 สายอากาศแบบร่องในแนวแกนตั้งบนผิวทรงกระบอก

การเผยแพร่กระจายกำลังงานจากร่องบนผิวทรงกระบอก สามารถเขียนสมการได้ดังนี้

$$E_\theta = \frac{e^{-jkr}}{2\pi^2 r} \sum_{n=-\infty}^{\infty} \frac{j^{n+1} e^{-jn\phi}}{\sin \theta H_n^{(2)}(ka \sin \theta)} \int_{z_0}^{\infty} \int_{-\phi_0}^{\phi_0} E_z(\beta, s) e^{jn\beta} e^{jks \cos \theta} ds d\beta \quad (2-11\text{ก})$$

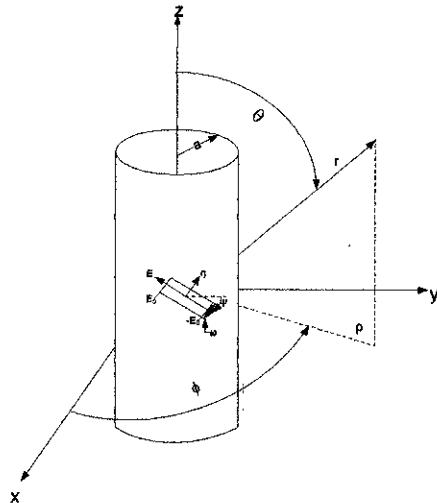
$$\begin{aligned} E_\phi &= \frac{e^{-jkr}}{2\pi^2 r} \sum_{n=-\infty}^{\infty} \frac{j^n e^{-jn\phi}}{H_n^{(2)}(ka \sin \theta)} \int_{z_0}^{\infty} \int_{-\phi_0}^{\phi_0} E_z(\beta, s) e^{jn\beta} e^{jks \cos \theta} ds d\beta \\ &\quad + \frac{n \cot \theta}{ka \sin \theta} \int_{z_0}^{\infty} \int_{-\phi_0}^{\phi_0} E_z(\beta, s) e^{jn\beta} e^{jks \cos \theta} ds d\beta \end{aligned} \quad (2-11\text{ก})$$

$$H_\theta = \frac{-E_\phi}{Z_0} \quad (2-11\text{ก})$$

$$H_\phi = \frac{E_\theta}{Z_0} \quad (2-11\text{ก})$$

### 2.4.2 สายอากาศแบบร่องในแนวเฉียง [3]

สายอากาศแบบร่องในแนวเฉียง ดังแสดงในรูปที่ 2-5



รูปที่ 2-5 สายอากาศแบบร่องในแนวเฉียงบนผิวทรงกระบอก

การแผ่กระจายกำลังงานจากร่องบนผิวทรงกระบอก สามารถเขียนสมการได้ดังนี้

$$E_\phi = \frac{E_0}{\pi^2} \left[ \int_0^\infty \frac{H_0^{(2)}(k_h r) k_s}{H_0^{(2)}(k_h a) k_{hs}^2} \right. \\ \left. + \sum_{n=1}^{\infty} \frac{2}{n} \sin n\phi_0 \cos n\phi \int_0^\infty \frac{H_n^{(2)}(k_h r) k_s \left( \cos \frac{kL}{2} - \cos \frac{k_s L}{2} \right) \cos hz}{H_n^{(2)}(k_h a) k_{hs}^2} dh \right] \quad (2-12)$$

$$H_\phi = \frac{E_0}{j\omega\mu\pi^2} \left[ \int_0^\infty \frac{H_0^{(2)}(k_h r) k_h k_s \phi_0 \left( \cos \frac{kL}{2} - \cos \frac{k_s L}{2} \right) \cos hz dh}{H_0^{(2)}(k_h a) k_{hs}^2} \right. \\ \left. + \sum_{n=1}^{\infty} \frac{2}{n} \sin n\phi_0 \cos n\phi \int_0^\infty \frac{H_n^{(2)}(k_h r) k_h k_s \left( \cos hL - \cos \frac{k_s L}{2} \right) \cos hz}{H_n^{(2)}(k_h a) k_{hs}^2} dh \right] \quad (2-13)$$

ቃ

$$k_h^2 = k^2 - h^2 \quad (2-14\text{ก})$$

$$k_{hs}^2 = k_s^2 - h^2 \quad (2-14\text{ก})$$

## 2.5 การจำลองแบบรูปการแผ่กระจายกำลังงานโดยใช้โปรแกรม Mathematica

นำสมการ (2-12) มาเขียนในโปรแกรม Mathematica จะได้ดังนี้

(\*clear all constants and variables\*)

Clear [k, a, theta, phi, func, lamda, Ls, E0];

(\*slot array antenna\*)

lamda = 5;

a = 3.5; (\* radius of cylinder\*)

k = 2\*Pi/lamda;

Ls = 0.5\*lamda; (\*length of slot\*)

E0 = 1;

ka = k\*a;

inf = 30;

Q = 1;

zq1 = -0.5\*lamda; (\*distance between 2 slots\*)

zq2 = 0.5\*lamda;

Ecollinear = Exp [I\*k\*zq1\*Cos [theta]] + Exp [I\*k\*zq2\*Cos [theta]];

Sumn1 =

$$\sum_{m=0}^{Q-1} \left( \sum_{n=0}^0 ((1*(I^n)*Cos [n*(phi-(2*m*Pi/Q))]) / (((0.5*(BesselJ [n-1, ka*Sin [theta]] - BesselJ [n+1, ka*Sin [theta]])) - (0.5*I*(BesselY [n-1, ka*Sin [theta]] - BesselY [n+1, ka*Sin [theta]]))))));$$

Sumn2 =

$$\sum_{m=0}^{Q-1} \left( \sum_{n=1}^{\infty} \frac{((2*(I^n)*\text{Cos}[n*(\phi-(2*m*\pi/Q))]) / (((0.5*(\text{BesselJ}[n-1, k]*\text{Sin}[\theta]) - \text{BesselJ}[n+1, k]*\text{Sin}[\theta]))) - (0.5*I*(\text{BesselY}[n-1, k]*\text{Sin}[\theta]) - \text{BesselY}[n+1, k]*\text{Sin}[\theta]))))) \right);$$

$$E1 = E0 / (\pi^2);$$

$$ET = (E1)*Ecollinear*(Sumn1+Sumn2);$$

func = "(ET)";

(\*input variables\*)

var1 = "theta";

var2 = "phi";

(\*option for plot area\*)

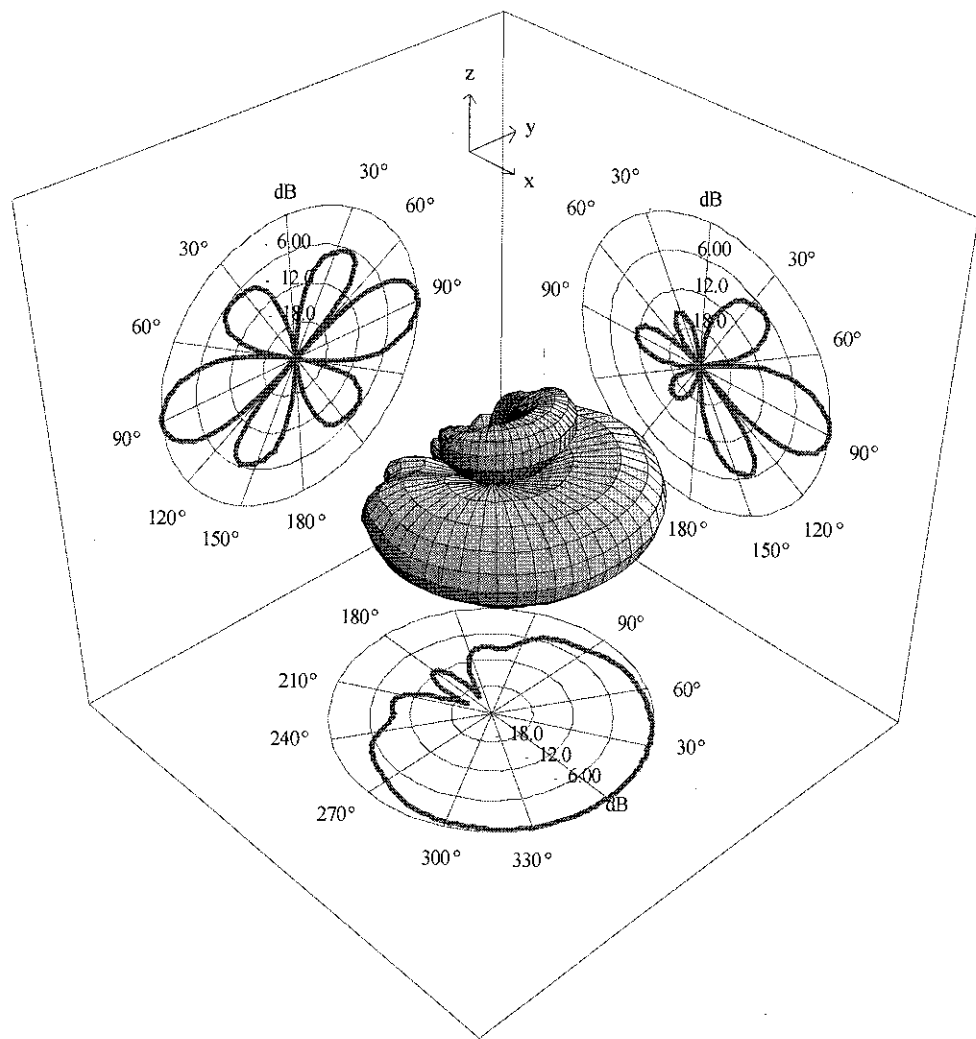
showgridline = True (\*False\*);

deleteangle = {{120,150},{120,150},{120,150}};

(\*call function ' polardb3 '\*)

polardb3 [func, var1, var2, -24]

จากนั้นทำการคอมไพล์ (Compile) โดยกดปุ่ม Shift และปุ่ม Enter พร้อมกัน จะได้แบบรูป การแผ่กระจายกำลังงาน ดังแสดงในรูปที่ 2-6



รูปที่ 2-6 แสดงแบบรูปการแผ่กระจายกำลังงาน โดยใช้โปรแกรม Mathematica

## 2.6 สรุป

สายอากาศสำหรับรับสัญญาณโทรศัพท์ทัศน์ ที่ดีควรมีคุณสมบัติที่สำคัญ คือ มีแบบรูปการแผ่กระจายกำลังงานแบบรอบทิศทาง มีการโพลาไรซ์เป็นแบบวงกลม มีความกว้างແฉบที่กว้างเพียงพอ เป็นต้น

### บทที่ 3

#### การออกแบบและสร้างสายอากาศ

ในบทนี้จะกล่าวถึงขั้นตอนการใช้โปรแกรม Mathematica เพื่อใช้ในการจำลองแบบรูปของสายอากาศ เพื่อให้ได้สายอากาศที่มีคุณสมบัติตามที่ต้องการ โดยทำการวิเคราะห์สายอากาศโดยการแทนโครงสร้างของสายอากาศด้วยท่ออะลูมิเนียมที่มีปลายปิดทั้งสองด้าน

#### 3.1 ขั้นตอนการออกแบบและสร้างสายอากาศ

##### 3.1.1 การคำนวณหาค่าความยาวคลื่น

โดยความถี่ที่ใช้ในการออกแบบคือ 5.88 GHz เนื่องจากขนาดของท่ออะลูมิเนียมที่มีอยู่มีข้อจำกัดนั่นคือท่ออะลูมิเนียมมีขนาดเด็ก ซึ่งท่อมีรัศมีเพียง 3.5 เซนติเมตร ยาว 17 เซนติเมตร ดังนั้นจึงต้องใช้ความถี่ที่สูง สามารถคำนวณหาความยาวคลื่นได้จากสมการ

$$\lambda = \frac{V}{f} \quad (3-1)$$

เมื่อ

$\lambda$  = ความยาวคลื่นหน่วยเป็นเมตร

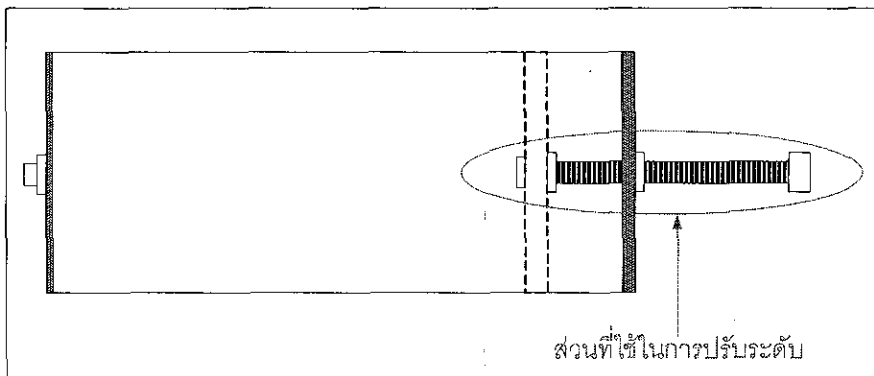
$V$  = ความเร็วแสง (ประมาณ  $3 \times 10^8$  เมตร/วินาที)

$f$  = ความถี่ที่ใช้งานหน่วยเป็นเฮิรต

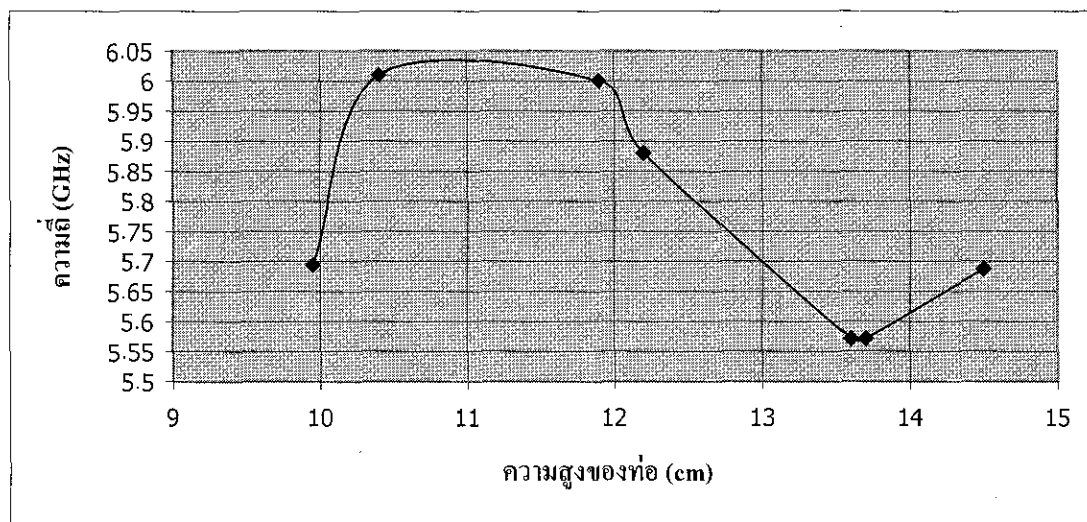
จากสมการ (3-1) เมื่อนำมาทำการคำนวณหาความยาวคลื่นแล้ว จะได้ความยาวคลื่นเท่ากับ 5 เซนติเมตร

### 3.1.2 การปรับระดับความสูงของท่ออะลูมิเนียม

โดยสร้างท่ออะลูมิเนียมให้สามารถปรับระดับความสูงขึ้น-ลง ได้ ตั้งแสดงในรูปที่ 3-1 เพื่อทำให้ท่อนี้สามารถทำงานที่ความถี่ 5.88 GHz ที่ความยาวท่อได้ดีที่สุด ซึ่งได้นำมาเปรียบเทียบว่าที่ระดับความสูงใดเหมาะสมที่สุด ดังแสดงในรูปที่ 3-2

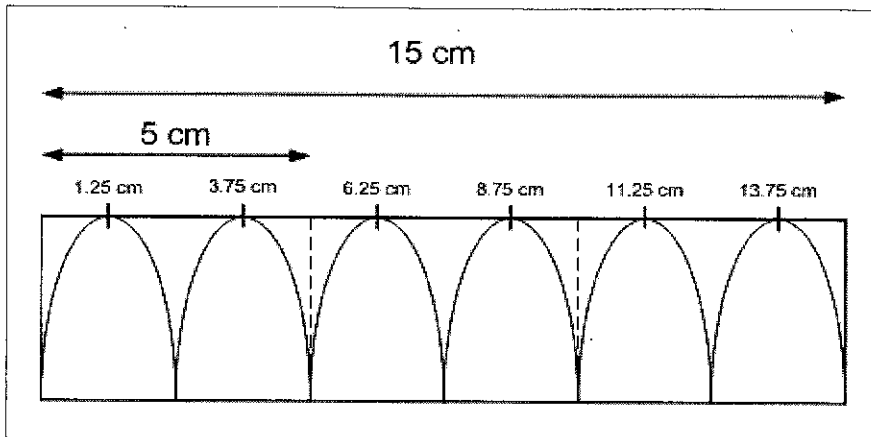


รูปที่ 3-1 แสดงแบบจำลองท่ออะลูมิเนียมซึ่งมีคัวปรับระดับความสูงของท่อ



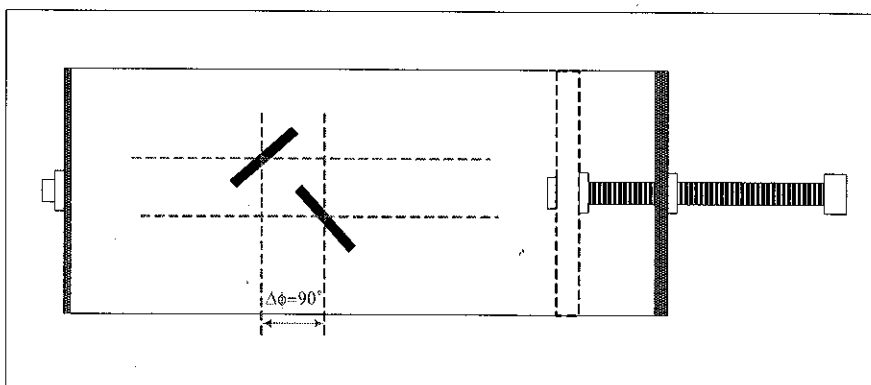
รูปที่ 3-2 กราฟแสดงความสัมพันธ์ระหว่างความยาวของท่อและความถี่ที่ใช้

จากรูปที่ 3-2 แสดงให้เห็นว่าท่ออะลูมิเนียมที่ความยาว 12.2 เซนติเมตร สามารถใช้งานได้ดีที่ความถี่ 5.8804 GHz ซึ่งใกล้เคียงกับความถี่ที่กำหนดไว้ข้างต้น ดังนั้นจึงเลือกใช้ความยาวของท่อที่ 12.2 เซนติเมตร หลังจากนั้นจึงทำการตรวจสอบว่าภายในท่อนี้มีความยาวคลื่นกี่ลูก แต่เนื่องจากท่อที่เลือกใช้มีความยาวไม่เป็นจำนวนเต็มของความยาวคลื่น จึงทำการสมมติให้ท่อนี้มีความยาว 15 เซนติเมตร ซึ่งจะทำให้ทราบตำแหน่งที่มีค่าสูงสุด เพื่อที่จะทำการเจาะร่องให้กำลังงานแผ่กระจายออกจากท่อได้มากที่สุด ดังแสดงในรูปที่ 3-3



รูปที่ 3-3 แสดงตำแหน่งที่มีค่าสูงที่สุดที่เกิดขึ้นภายในท่ออะลูมิเนียม

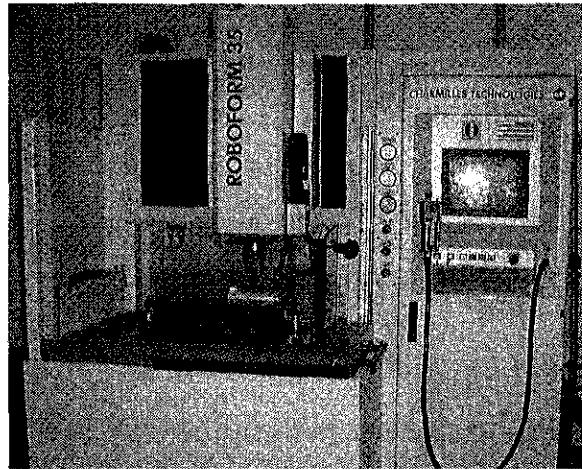
จากรูปที่ 3-3 คือภาพที่แสดงตำแหน่งของค่าอัตราส่วนคลื่นนิ่ง (Standing wave ratio) ที่เกิดขึ้นภายในสายอากาศแบบโพรงวงกลม ว่าตำแหน่งที่มีค่าสูงสุดหรือต่ำสุดอยู่บริเวณใดบ้าง เพื่อที่เราจะนำไปใช้ในการเจาะร่อง ให้กำลังงานมีการแผ่กระจายคลื่นออกมานะและได้ค่าของกำลังงาน การแผ่กระจายคลื่นมากที่สุด ดังนั้นจึงเลือกเจาะร่องที่ 1 ที่ตำแหน่ง 6.25 เซนติเมตร และร่องที่ 2 ที่ตำแหน่ง 8.75 เซนติเมตร ซึ่งมีระยะห่างระหว่างร่องเป็นความยาวครึ่งหนึ่งของความยาวคลื่น เพื่อให้คลื่นทั้งสองมีความต่างเฟสกัน 90 องศา ดังแสดงในรูปที่ 3-4



รูปที่ 3-4 แสดงแบบจำลองระยะห่างระหว่างร่องทั้งสอง

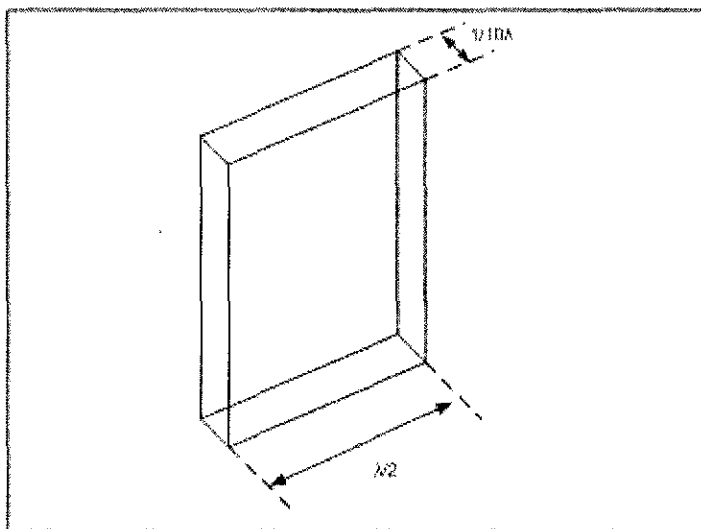
### 3.1.3 การเจาะร่องบนผิวทรงกระบอก

ในการเจาะร่องนี้จะใช้เครื่องสปาร์ค (Roboform 35) ดังแสดงในรูปที่ 3-5



รูปที่ 3-5 เครื่องสปาร์ค

ขั้นแรกต้องนำห้องเดงมาตัดให้ได้ขนาดตามต้องการ ซึ่งมีความกว้างเป็นความยาวครึ่งหนึ่งของความยาวคลื่น และมีความหนาเป็นหนึ่งส่วนสิบเท่าของความยาวคลื่น ดังแสดงในรูปที่ 3-6 เพื่อนำห้องเดงไปทำเป็นตัวอิเล็กโทรด (Electrode) ซึ่งใช้ในการเจาะร่องลงบนผิวทรงกระบอก และในการวางตัวของอิเล็กโทรคนั้นจะวางทำมุม 45 องศา ดังแสดงในรูปที่ 3-7

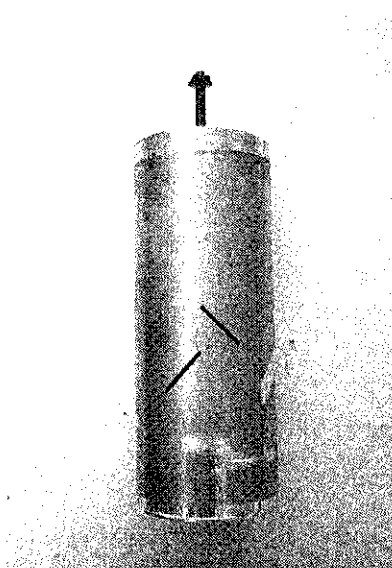


รูปที่ 3-6 แสดงแบบจำลองขนาดของห้องเดงที่ใช้เป็นตัวอิเล็กโทรด



รูปที่ 3-7 แสดงการวางตัวของอิเล็กโทรดบนผิวทรงกระบอก

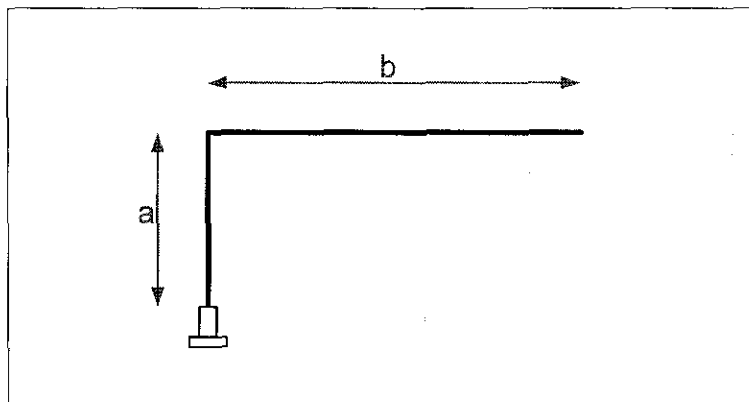
เมื่อทำการเจาะร่องที่ 1 แล้ว จากนั้นก็ทำการเจาะร่องที่ 2 ในลักษณะเดียวกัน ซึ่งร่องทั้งสองนั้นจะต้องวางในแนวตั้งหากัน ดังนั้นจะได้สายอากาศแฉวลำดับแบบร่องตั้งคลากบนผิวทรงกระบอกที่สมบูรณ์ ดังแสดงในรูปที่ 3-8



รูปที่ 3-8 สายอากาศแฉวลำดับแบบร่องตั้งคลากบนผิวทรงกระบอกที่เสร็จสมบูรณ์

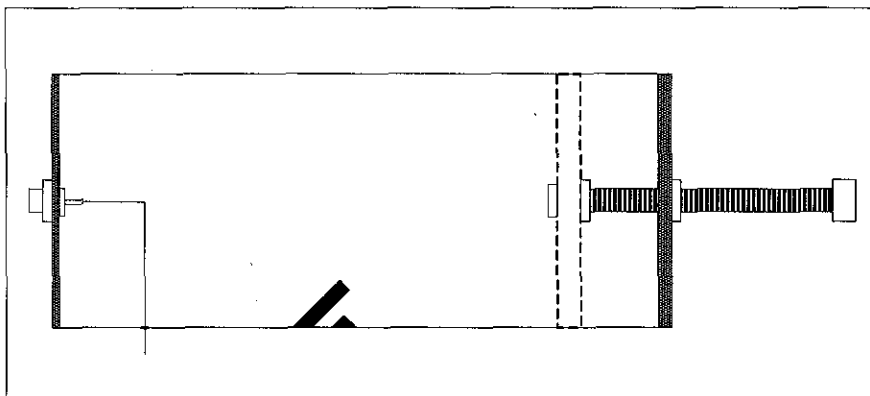
### 3.1.4 การทำพรบเพื่อใช้ในการเหนี่ยวนำกำลังงาน

นำลวดทองแดงมาปีกอกสารที่เคลือบอยู่ออกให้หมด จากนั้นทำการดัดลวดทองแดงให้ได้ดังรูปที่ 3-9



รูปที่ 3-9 แสดงแบบจำลองลักษณะของprobeที่ใช้

จากรูปที่ 3-9 แสดงสัดส่วนของ probeที่ใช้ โดยให้ด้าน  $a$  มีความยาวเป็นครึ่งหนึ่งของความยาวคลื่น สำหรับด้าน  $b$  ให้มีความยาวเกินห่อออกไป เพื่อที่ลวดทองแดงจะสามารถทะลุผ่านและสัมผัสนับท่อ ซึ่งจะเจาะรูด้านเดียวกันร่อง โดยให้มีความสูงจากปลายท่อเท่ากับความยาว  $a$  ดังแสดงในรูปที่ 3-10



รูปที่ 3-10 แสดงแบบจำลองการว่างprobeภายในท่ออะลูมิเนียม

จากรูปที่ 3-10 จะเห็นว่าลักษณะของการว่างprobeภายในท่อนั้นที่ต้องให้ด้าน  $b$  มีความยาวเกินห่อออกไปและสัมผัสนับท่อนั้น เนื่องจากโครงงานนี้ต้องการสร้างสายอากาศที่ใช้งานในโหมด TE ดังนั้นจึงต้องมีด้าน  $b$  เพื่อให้เกิดสนามไฟฟ้าอكمด้วย แต่ถ้าใช้probeเฉพาะด้าน  $a$  จะเป็นการใช้งานในโหมด TM

จากนั้นทำการวัดค่าพารามิเตอร์ต่างๆ กับเครื่องมือวิเคราะห์โครงสร้าง (Network Analyzer)

### 3.2 สรุป

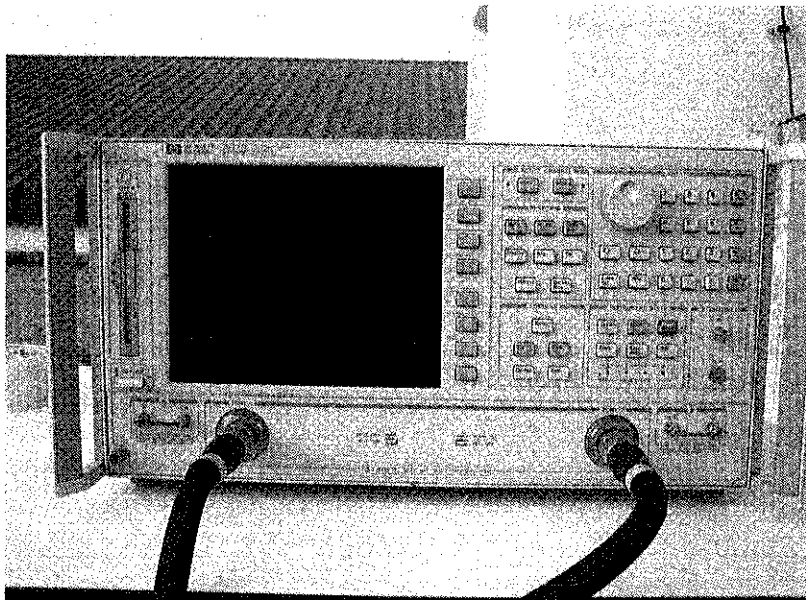
ในบทนี้ได้กล่าวถึงขั้นตอนในการออกแบบและสร้างสายอากาศเดาดับเบบร่องตั้ง ฉลากบนผิวทรงกระบอก การเจาะร่องบนผิวทรงกระบอก และการทำโพรงที่ใช้ในการเหนี่ยวนำ กำลังงาน

ส่วนในบทต่อไปจะกล่าวถึงการวัดค่าพารามิเตอร์ต่างๆ รวมทั้งการหาแบบรูปการແร์ กระจายกำลังงานของสายอากาศ

## บทที่ 4

### สรุปผลการทดลองและเปรียบเทียบผลการทดลองกับการออกแบบ

หลังจากได้สร้างสายอากาศต้นแบบดังแสดงในบทที่ 3 แล้วในบทนี้จะกล่าวถึงการนำสายอากาศมาวัดค่าพารามิเตอร์ต่างๆ และแบบรูปการแผ่กระจายคลื่น จากนั้นนำผลที่ได้ไปเปรียบเทียบกับผลที่ได้จากโปรแกรม Mathematica เพื่อหาค่าความผิดพลาดที่เกิดขึ้นระหว่างผลจากโปรแกรม Mathematica และผลที่วัดได้ด้วยเครื่องมือวัด โดยการวัดค่าพารามิเตอร์ต่างๆ จะใช้เครื่องมือวิเคราะห์โครงข่าย (Network Analyzer) ยี่ห้อ Hewlett Packard รุ่น 8722D ใน การวัด ดังแสดงในรูปที่ 4-1

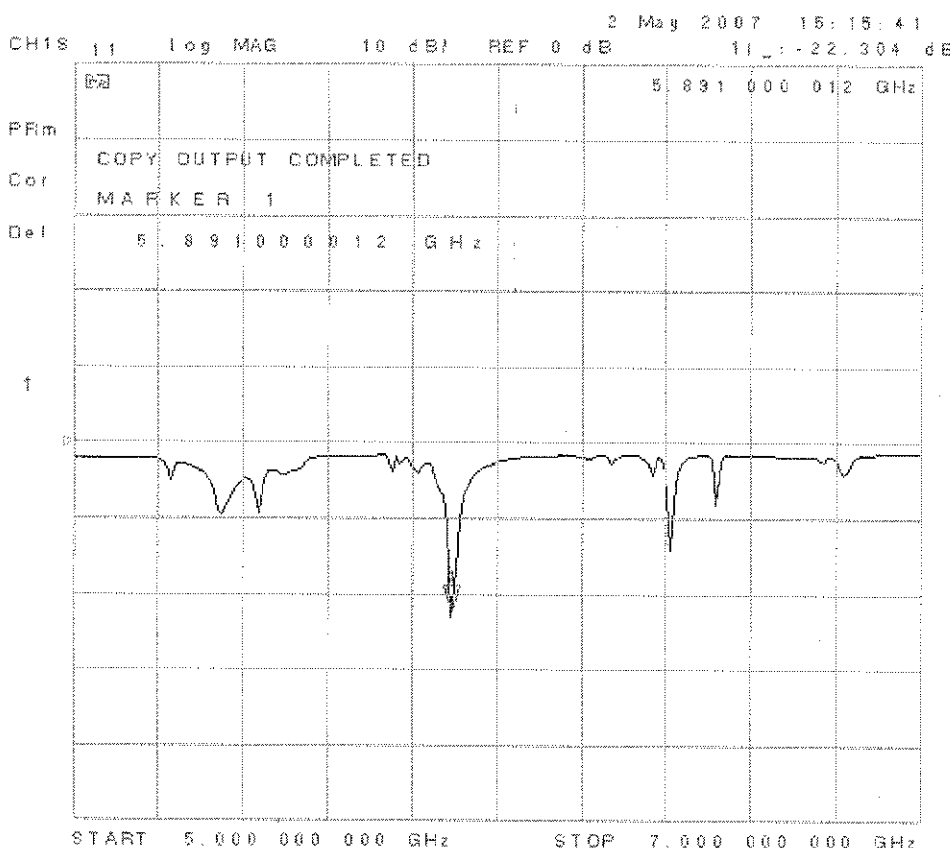


รูปที่ 4-1 เครื่องมือวิเคราะห์โครงข่าย (Network Analyzer)

## 4.1 ขั้นตอนการวัดค่าพารามิเตอร์ต่างๆของสายอากาศ

### 4.1.1 ขั้นตอนการวัดค่า $S_{11}$ ของสายอากาศแบบร่องจำนวน 1 ร่อง

ทำการปรับเทียบ (Calibrate) เครื่องมือวิเคราะห์โครงข่าย ที่ความถี่ตั้งแต่ 5 GHz ถึง 7 GHz เลือกคำสั่ง Save เพื่อจะได้ไม่ต้องทำการปรับเทียบเครื่องใหม่ เมื่อต้องการใช้งานภายหลัง ต่อสายอากาศเข้าที่ Port 1 ของเครื่องมือวิเคราะห์โครงข่าย ทำการวัด  $S_{11}$  เลือก Format แบบ Log Mag ผลการวัดค่า  $S_{11}$  ของสายอากาศ ดังแสดงในรูปที่ 4-2

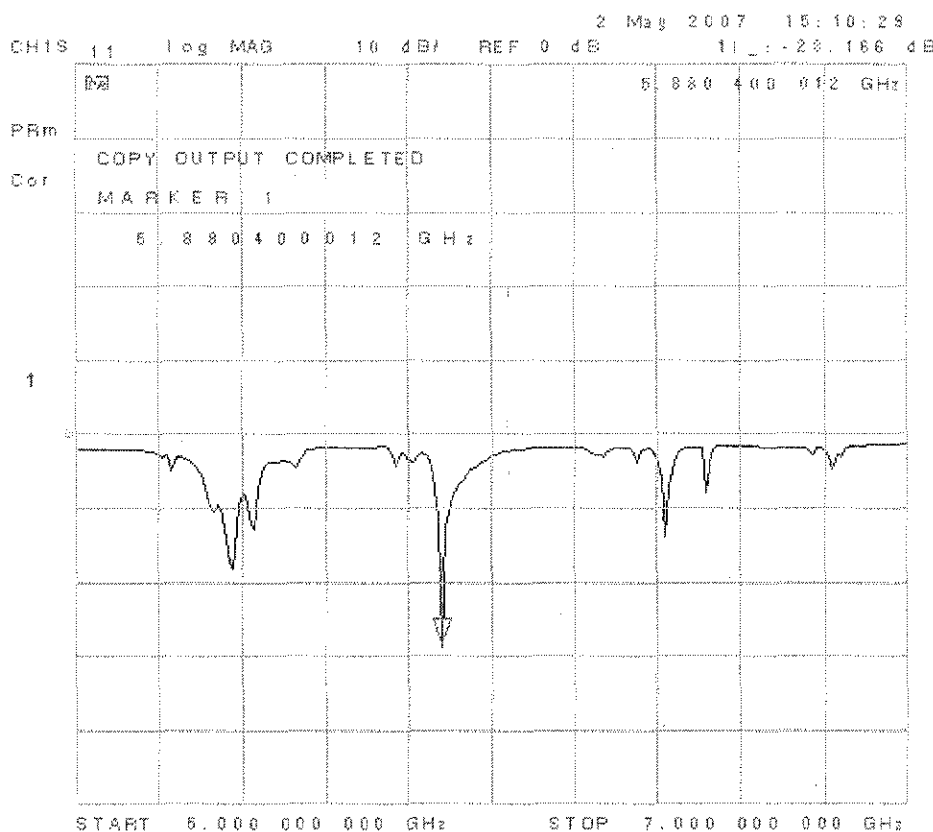


รูปที่ 4-2 แสดงค่า  $S_{11}$  ของสายอากาศแบบร่องจำนวน 1 ร่อง

จากรูปที่ 4-2 เป็นการวัดค่า  $S_{11}$  โดยที่ความถี่ 5.8910 GHz มีค่าเท่ากับ -22.304 dB การวัดในลักษณะนี้คือเป็นการวัดค่าสัมประสิทธิ์การสะท้อน (Reflection Coefficient) ของสัญญาณเทียบกับสัญญาณรับกวนถ้าค่า  $S_{11}$  ต่ำสุด แสดงว่าช่วงความถี่นั้นสามารถส่งและรับสัญญาณได้ดี สัญญาณที่จะสามารถนำไปใช้งานได้ต้องมีค่า  $S_{11}$  ต่ำกว่า -15 dB เป็นต้นไป

#### 4.1.2 ขั้นตอนการวัดค่า $S_{11}$ ของสายอากาศแบบร่องจำนวน 2 ร่อง

ทำการวัดค่า  $S_{11}$  ในลักษณะเดียวกันกับสายอากาศแบบร่องจำนวน 1 ร่อง ซึ่งผลการวัดค่า  $S_{11}$  ของสายอากาศ ดังแสดงในรูปที่ 4-3



รูปที่ 4-3 แสดงค่า  $S_{11}$  ของสายอากาศแบบร่องจำนวน 2 ร่อง

จากรูปที่ 4-3 เป็นการวัดค่า  $S_{11}$  โดยที่ความถี่ 5.8804 GHz มีค่าเท่ากับ -28.166 dB

#### 4.1.3 การวัดความกว้างແຄນของสายอากาศ

ความกว้างແຄນของสายอากาศ หมายถึงช่วงความถี่ที่สามารถใช้งานได้คือช่วงความถี่ที่สายอากาศรับและส่งสัญญาณได้ โดยสายอากาศจะพิจารณาความกว้างແຄນของสายอากาศอยู่ที่ -10 dB ในโหมดของ Log Mag

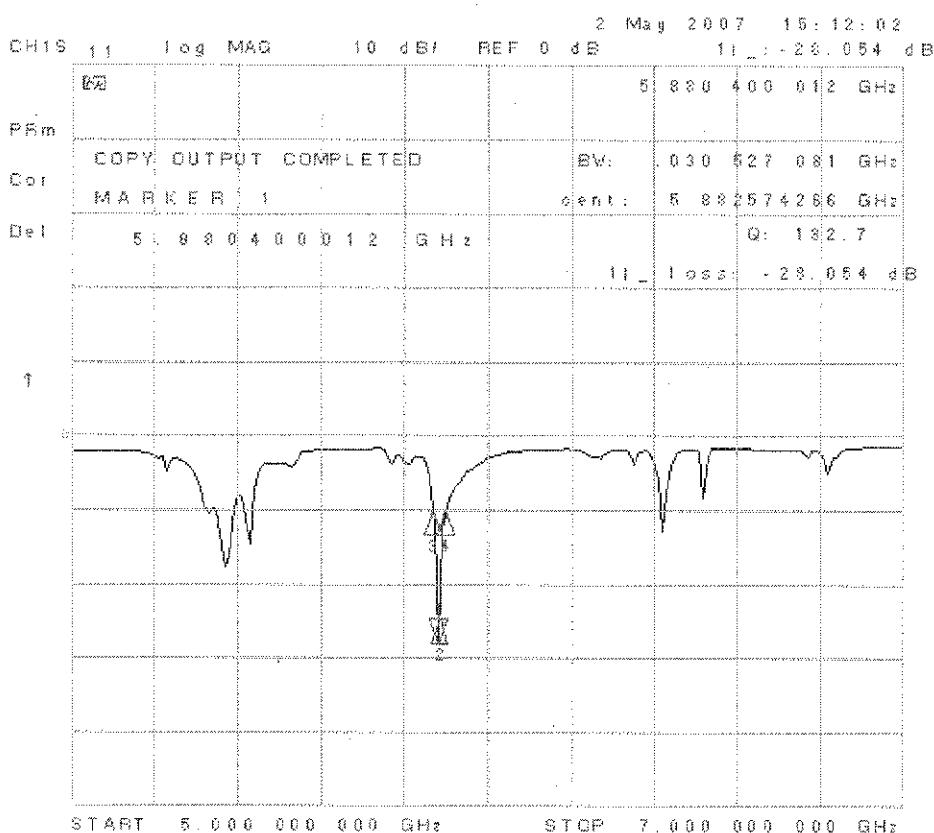
เลือกคำสั่ง Format และเลือก Log Mag

เลือกคำสั่ง Marker Fctn และเลือก MKR SEARCH [OFF]

เลือก WIDTH VALUE เพื่อป้อน -10 dB

เลือก WIDTH ON เพื่อคุ้มค่า

ผลการวัดความกว้างແຄນของสายอากาศ ดังแสดงในรูปที่ 4-4



รูปที่ 4-4 แสดงความกว้างແຄນของสายอากาศแบบร่วงจำนวน 2 ร่อง

จากรูปที่ 4-4 ความกว้างແຄນของสายอากาศมีค่าเท่ากับ 30.527 MHz โดยจุดศูนย์กลางอยู่ที่ 5.8825 GHz

## 4.2 การวัดแบบรูปการแผ่กระจายกำลังงานของสายอากาศ

เป็นการวัดค่าการแผ่กระจายกำลังงานของสายอากาศ โดยทำการวัดที่บริเวณสนามระยะไกล (Far-Field Region) ซึ่งสามารถคำนวณจากสมการ

$$R > \frac{2D^2}{\lambda} \quad (4-1)$$

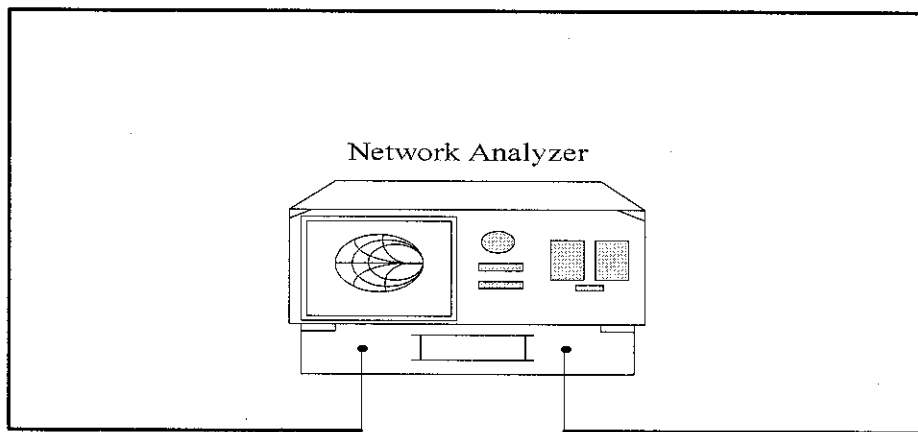
เมื่อ

$R$  คือระยะของสนามระยะไกลหน่วยเป็นเมตร

$D$  คือความยาวสูงสุดของพื้นที่หน้าตัดของร่องตั้งฉากบนผิวทรงกระบอกหน่วยเป็นเมตร

$\lambda$  คือความยาวคลื่นของสายอากาศหน่วยเป็นเมตร

ในการวัดค่าการแผ่กระจายกำลังงานควรทำการวัดการลดthon ในสายก่อน จะได้ทราบว่า ในสายมีการสูญเสียเท่าไร เพื่อนำค่าการสูญเสียนี้ไปใช้ในการคำนวณหาอัตราขยายของสาย อากาศ ซึ่งสามารถทำการวัดได้โดยต่ออุปกรณ์ต่างๆ ดังแสดงในรูปที่ 4-5



รูปที่ 4-5 แสดงแบบจำลองการต่ออุปกรณ์ในการวัดการลดthon ในสาย

จากการวัดการลดthon ในสายพบว่า

การสูญเสียในสายที่ภาคส่งเท่ากับ 16.4 dB ( $L_s$ )

การสูญเสียในสายที่ภาครับเท่ากับ 3.3 dB ( $L_r$ )

ดังนั้นสามารถคำนวณค่าการสูญเสียในสายทั้งหมดได้ จากสมการ

$$\text{Loss (Attention)} = P_t - P_r \quad (4-2)$$

เมื่อ

$P_t$  = กำลังที่ใช้ในการส่งหน่วยเป็นเดซิเบล (dB)

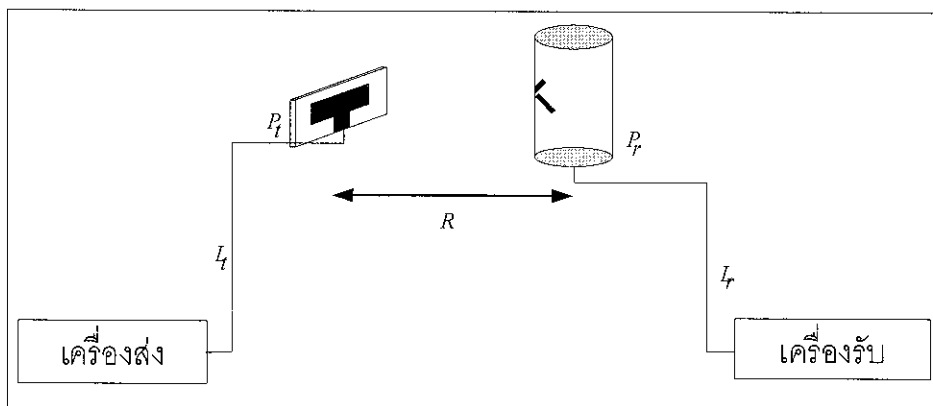
$P_r$  = กำลังที่รับได้หน่วยเป็นเดซิเบล

Loss (Attention) = การลดthon ในสายหน่วยเป็นเดซิเบล

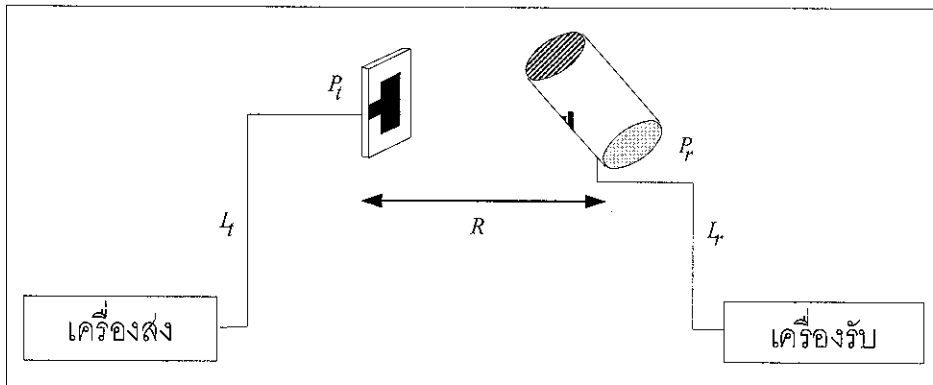
ดังนั้น  $P_t$  = กำลังส่ง -  $L_t$

$$P_r = \text{กำลังรับ} + L_r$$

ในการวัดค่าการเผยแพร่กระจายกำลังงานของสายอากาศ จะทำการวัดในระนาบสนามไฟฟ้า (E-Plane) และสนามแม่เหล็ก (H-Plane) ซึ่งสามารถต่ออุปกรณ์ต่างๆ ดังแสดงในรูปที่ 4-6(ก) และรูปที่ 4-6(ข) ตามลำดับ

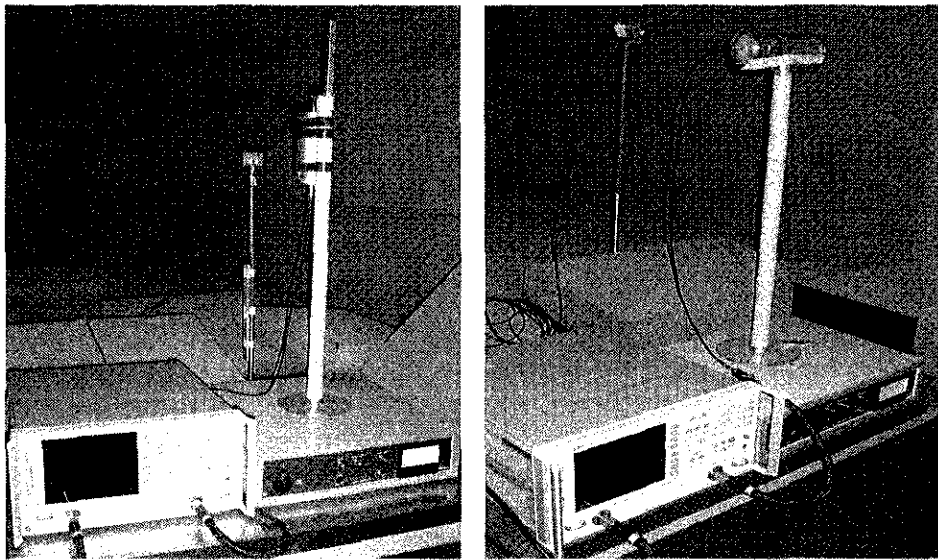


รูปที่ 4-6(ก) แสดงแบบจำลองการต่ออุปกรณ์ในการวัดค่าการรับสัญญาณในระนาบสนามไฟฟ้า



รูปที่ 4-6(ข) แสดงแบบจำลองการต่ออุปกรณ์ในการวัดค่าการรับสัญญาณในระนาบสนามแม่เหล็ก

จากสมการ (4-1) ค่าสนาณระยะไกลที่คำนวณได้เท่ากับ 14.4 เซนติเมตร เป็นต้นไป ซึ่งในการวัดแบบรูปการแผ่กระจายกำลังงานของสายอากาศใช้ระยะห่างเท่ากับ 50 เซนติเมตร สามารถต่ออุปกรณ์ต่างๆ ได้ดังแสดงในรูปที่ 4-7(ก) และรูปที่ 4-7(ข) ตามลำดับ



(ก)

(ข)

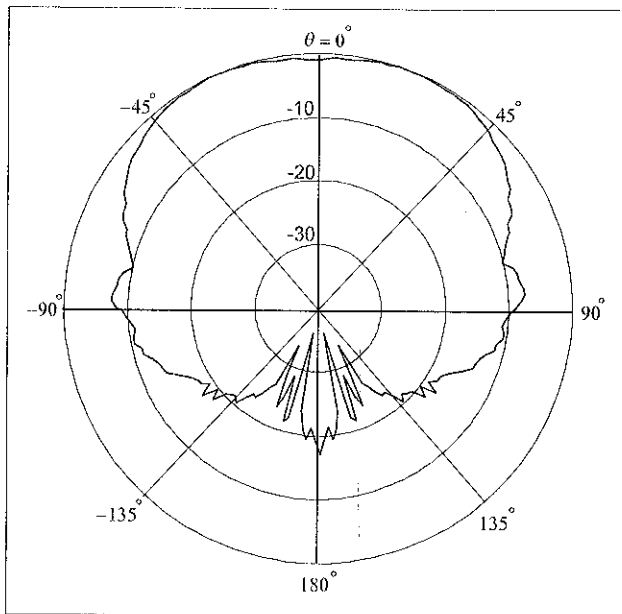
รูปที่ 4-7 แสดงการต่ออุปกรณ์ในการวัดแบบรูปการแผ่กระจายกำลังงาน

- (ก) ในระบบสานมไฟฟ้า
- (ข) ในระบบสานมแม่เหล็ก

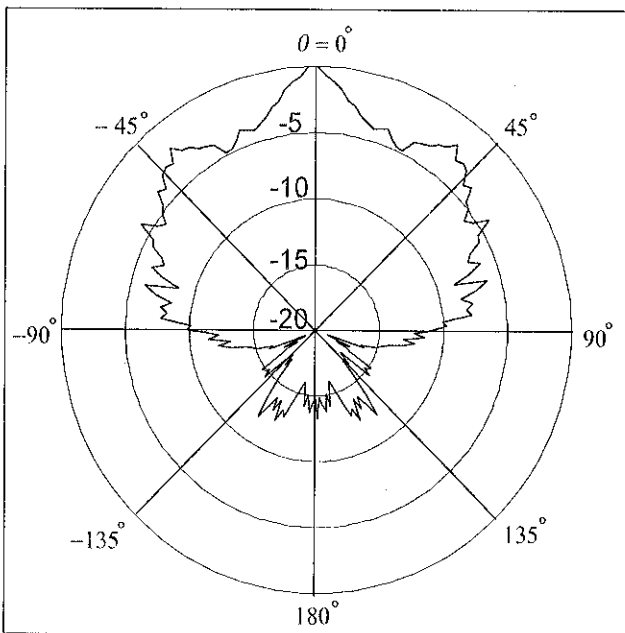
#### ขั้นตอนการวัดแบบรูปการแผ่กระจายกำลังงาน

1. Recall state จากเครื่องมือวิเคราะห์โครงข่ายที่จัดเก็บไว้
2. จ่าย파วเวอร์ โดยเลือกคำสั่ง Menu
3. เลือกคำสั่ง POWER และคำสั่ง POWER RANGES
4. เลือก RANGES -20 to -5 ป้อนค่า -10 dB
5. เลือกคำสั่ง CW FREQ ป้อนค่า 5.88 GHz ทำการวัดค่า  $S_{21}$  จากเครื่องมือวิเคราะห์โครงข่าย เพื่อนำมาพิสูจน์แบบรูปการแผ่กระจายกำลังงาน
6. บันทึกค่ากำลังงานที่รับได้ในแต่ละมุมจนครบ 360 องศา

จะได้ผลแบบรูปการแผ่กระจายกำลังงานจากการวัดด้วยเครื่องมือวิเคราะห์โครงข่ายใน  
ระยะสัมภานมไฟฟ้าและระยะสัมภานมแม่เหล็ก ดังแสดงในรูปที่ 4-8(ก) และรูปที่ 4-8(ข) ตามลำดับ



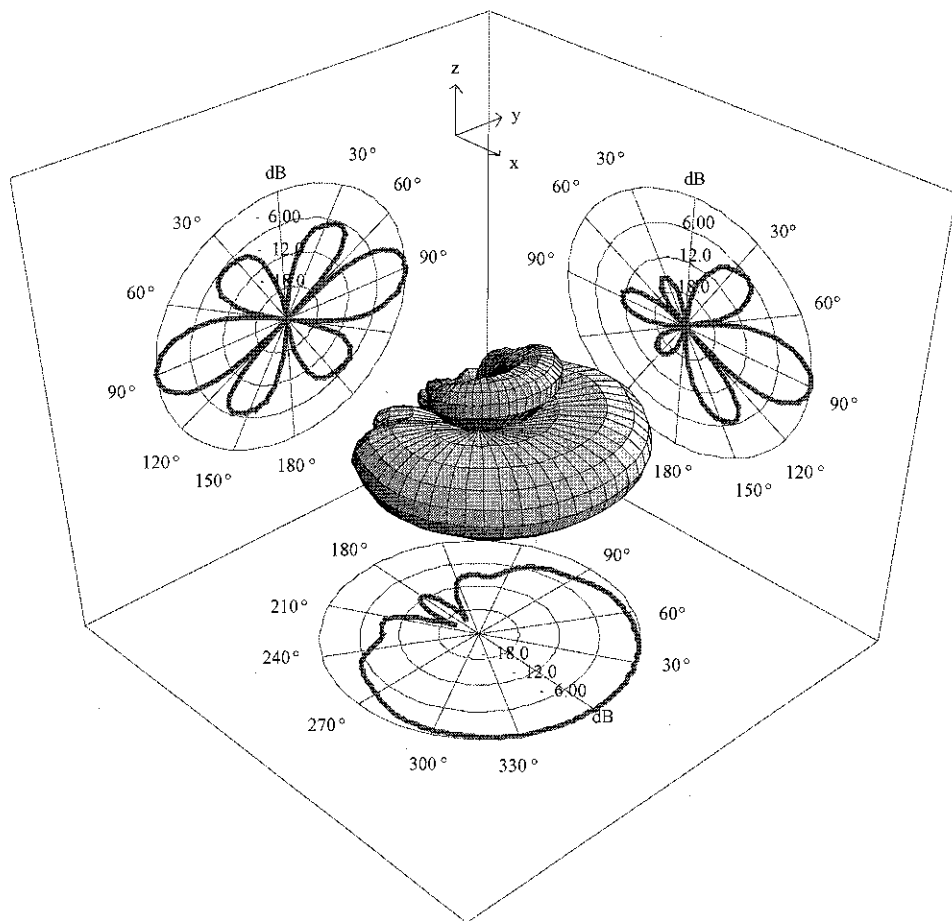
รูปที่ 4-8(ก) แสดงแบบรูปการแผ่กระจายกำลังงานในระยะสัมภานมไฟฟ้า



รูปที่ 4-8(ข) แสดงแบบรูปการแผ่กระจายกำลังงานในระยะสัมภานมแม่เหล็ก

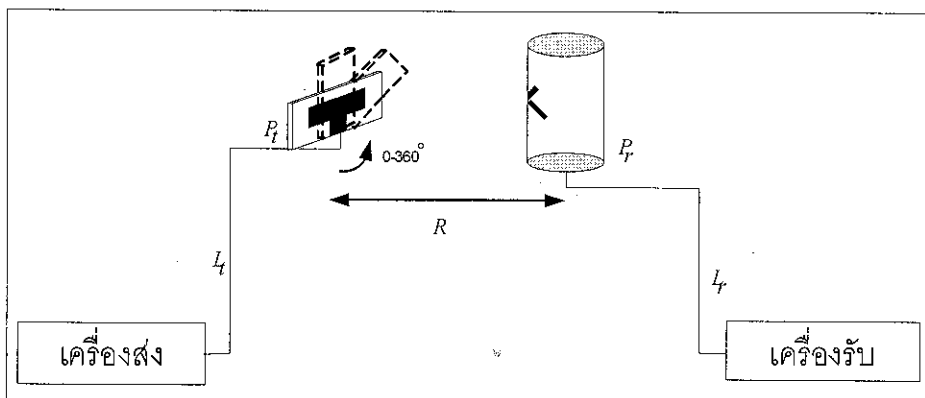
ผลการจำลองแบบรูปการแผ่กระจายกำลังงานจากโปรแกรม Mathematica ดังแสดงในรูปที่

4-9



รูปที่ 4-9 แสดงแบบรูปการแผ่กระจายกำลังงานจากโปรแกรม Mathematica

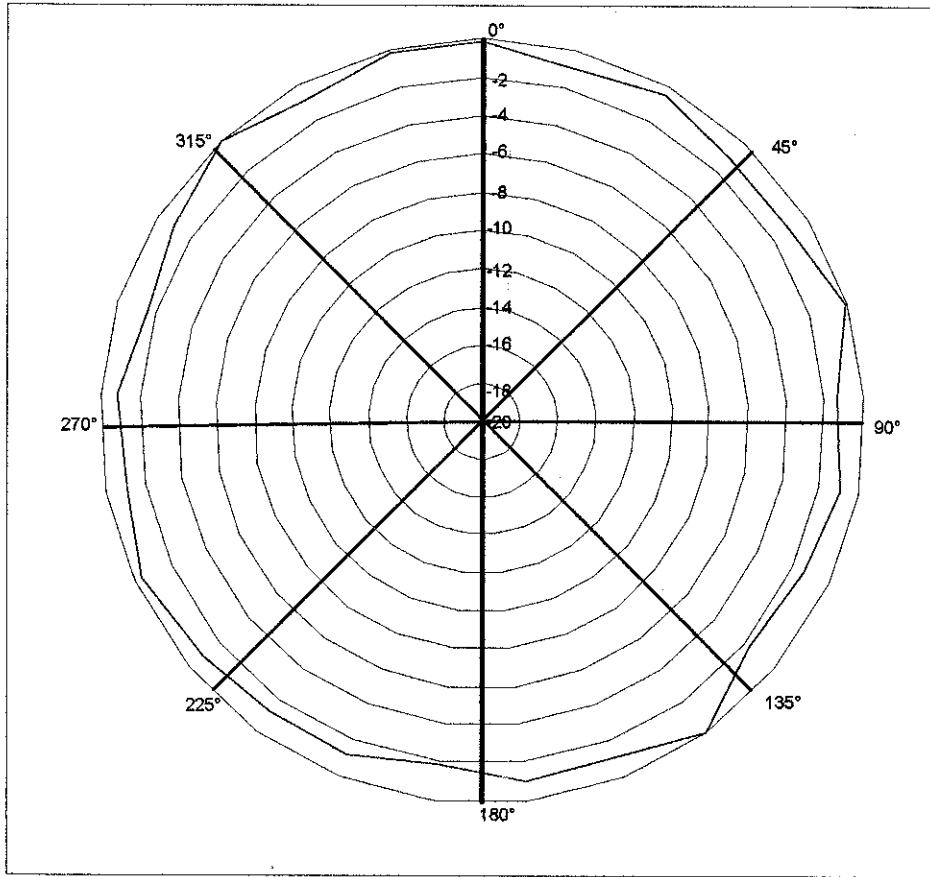
สามารถแสดงการทดสอบการพัฒนาสายอากาศให้มีการโพลาไรซ์แบบวงกลมได้ โดยการต่ออุปกรณ์ต่างๆ ดังแสดงในรูปที่ 4-10



รูปที่ 4-10 แสดงการทดสอบการโพลาไรซ์ของสายอากาศ

สำหรับการทดสอบนี้ ต้องการแสดงว่าสายอากาศแฉลามด้านแบบร่องตั้งฉากบนผิวทรงกระบอกนี้มีการ โพลาไรซ์แบบวงกลม ซึ่งจะให้สายอากาศนี้ทำหน้าที่เป็นตัวรับสัญญาณและจะติดตั้งไว้ในตำแหน่งเดิมตลอดการทดสอบ และจะใช้สายอากาศไมโครสตริปเป็นตัวส่งสัญญาณ โดยจะให้สายอากาศนี้หมุนตามมุมไปจนครบ 360 องศา ซึ่งในระหว่างนั้นต้องทำการเก็บค่ากำลังที่รับได้ในแต่ละทิศทางด้วย เพื่อนำค่าไปปรับเทียบกู้ว่ากราฟมีลักษณะเป็นอย่างไร

เมื่อนำค่ากำลังที่รับได้มาพิสูจน์ได้ ดังรูปที่ 4-11



รูปที่ 4-11 แสดงผลการทดสอบการ โพลาไรซ์

จากรูปที่ 4-11 พบร้าวกราฟมีลักษณะค่อนข้างคล้ายวงกลม แสดงว่าสายอากาศแฉลามด้านแบบร่องตั้งฉากบนผิวทรงกระบอกสามารถรับสัญญาณได้ทุกทิศทาง โดยไม่จำเป็นว่าสายอากาศภาคส่วนจะอยู่ในระนาบเดียวกันกับภาครับ ซึ่ง ดังนั้นสายอากาศนี้จึงมีการ โพลาไรซ์แบบวงกลม

### 4.3 อัตราขยายของสายอากาศ

ในการวัดแบบบัญชีการแผ่กระจายกำลังงานนี้ มีกำลังที่ใช้ในการส่งเท่ากับ -10 dB ระยะห่างระหว่างสายอากาศภาคส่งกับสายอากาศภาครับเท่ากับ 50 เซนติเมตร อัตราขยายของสายอากาศไม่คงตัวที่ใช้เป็นภาคส่งมีค่าเท่ากับ 4 dB และเกิดการลดthon ในสายเท่ากับ 20 dB ดังนั้นอัตราขยายของสายอากาศภาครับจึงสามารถคำนวณได้จาก

$$P_r = P_t G_t G_r \left[ \frac{\lambda}{4\pi R} \right]^2 \quad (4-3)$$

เมื่อ

$P_t$  = กำลังที่ใช้ในการส่งหน่วยเป็นเดซิเบล

$P_r$  = กำลังที่รับได้หน่วยเป็นเดซิเบล

$G_t$  = อัตราขยายของสายอากาศภาคส่งหน่วยเป็นเดซิเบล

$G_r$  = อัตราขยายของสายอากาศภาครับหน่วยเป็นเดซิเบล

$\lambda$  = ความยาวคลื่นหน่วยเป็นเมตร

$R$  = ระยะห่างระหว่างสายอากาศภาคส่งและสายอากาศภาครับหน่วยเป็นเมตร

จากสมการ (4-3) อัตราขยายของสายอากาศແவล์ดับแบบร่องตื้นจากบันพิวทรักระบบกมีค่าเท่ากับ  $\boxed{1.584 \text{ dB}}$

#### 4.4 สรุป

ผลจากการวัดค่าพารามิเตอร์ต่างๆด้วยเครื่องมือวิเคราะห์โครงข่าย จะได้ค่าดังนี้

- ความกว้างแอกนีค่าเท่ากับ 30.527 MHz
- การสูญเสียในสาย  $L_i$  มีค่าเท่ากับ 16.4 dB
- การสูญเสียในสาย  $L_r$  มีค่าเท่ากับ 3.3 dB
- กำลังที่ส่ง  $P_t$  มีค่าเท่ากับ -10 dB
- กำลังที่รับได้  $P_r$  มีค่าเท่ากับ -35 dB
- อัตราขยายของสายอากาศมีค่าเท่ากับ 1.584 dB

ผลจากการเปรียบเทียบแบบรูปการแผ่กระจายกำลังงานจากการวัดด้วยเครื่องมือวิเคราะห์โครงข่ายและจากโปรแกรม Mathematica พบว่า

- ระบบสนามไฟฟ้า ได้แบบรูปการแผ่กระจายกำลังงานที่มีลักษณะใกล้เคียงกัน
- ระบบสนามแม่เหล็ก ได้แบบรูปการแผ่กระจายกำลังงานที่ค่อนข้างจะแตกต่างกัน อาจเป็นผลมาจากการติดตั้งอุปกรณ์สายอากาศ เนื่องจากอุปกรณ์มีผิวโคลง หรือเป็นผลจากการสะท้อนกลับของผิวหรือส่วนที่ยื่นออกมากจากตัวอุปกรณ์

ผลจากการทดสอบการโพลาไรซ์ของสายอากาศแคลดับแบบร่องตั้งฉากบนผิวทรงกระบอก พบร่วมกับ

- สายอากาศแคลดับแบบร่องตั้งฉากบนผิวทรงกระบอกมีลักษณะการโพลาไรซ์เป็นแบบวงกลม ซึ่งแสดงถึงว่ามีความสมดุลทางการสืบสานข้างต้น

## บทที่ 5

### บทสรุปและข้อเสนอแนะ

#### 5.1 บทสรุป

โครงการฉบับนี้เป็นการนำเสนอสายอากาศสำหรับการส่งสัญญาณโทรทัศน์ที่มีการโพลาไรซ์แบบวงกลม (Circular Polarization) โดยนำท่ออะลูминียมกลวงทรงกระบอกซึ่งมีปลายปิดทั้งสองด้านเป็นโครงสร้างของสายอากาศแคลดี้บแบบร่องตั้งจากบนผิวทรงกระบอก โดยมีสมมติฐานว่าจะให้คำลินีมีการแผ่กระจายคลื่นอกรอบตัวสายอากาศ ซึ่งมีการโพลาไรซ์ที่มีมุมหมุนครบ ทั้ง 360 องศา ในการออกแบบได้กำหนดให้สายอากาศมีรูปแบบเป็นแคลดี้บจำนวน 2 อิลิเมนท์ ซึ่งสายอากาศจะต้องมีโครงสร้างที่ไม่ซับซ้อน มีความแข็งแรง และมีประสิทธิภาพสูง

ในเชิงทฤษฎีได้นำโปรแกรม Mathematica เข้ามาช่วยในการวิเคราะห์ในการจำลองแบบรูปการแผ่กระจายกำลังงาน (Radiation Pattern) ของสายอากาศ

การวิเคราะห์คุณลักษณะที่เหมาะสมของสายอากาศแคลดี้บแบบร่องตั้งจากบนผิวทรงกระบอก ในโครงการฉบับนี้ได้ทำการวิเคราะห์ความกว้างແตน และแบบรูปการแผ่กระจายกำลังงาน ซึ่งทำให้มีความรู้ความเข้าใจถึงปัจจัยต่าง ๆ ที่ส่งผลต่อค่าพารามิเตอร์ของสายอากาศ โดยบทที่ 4 ได้แสดงผลการทดสอบความกว้างແตน และแบบรูปการแผ่กระจายกำลังงานของสายอากาศที่ได้ออกแบบและสร้าง พนวนาผลการทดสอบเป็นที่ยอมรับได้คือใกล้เคียงตามทฤษฎี

#### 5.2 ข้อเสนอแนะ

สำหรับสายอากาศแคลดี้บแบบร่องตั้งจากบนผิวทรงกระบอกที่ได้ทำการทดสอบนี้ มีความคาดเคลื่อนไปจากผลที่ได้จากโปรแกรม Mathematica อยู่พอสมควร ทั้งนี้เป็นผลจากสภาพแวดล้อมและอุปกรณ์ในการทดสอบและจากการออกแบบเอง เนื่องจากสายอากาศนี้ทำงานในย่านความถี่สูง ดังนั้นในการทดสอบสายอากาศที่ดีนั้นควรจะหาพื้นที่โล่งและมีคุณภาพสูง ยกตัวอย่างเช่น ทดสอบในห้องแม่เบอร์ (Chamber room) เพื่อลดปัญหาการรบกวนจากสภาพแวดล้อมภายนอกหรือสะท้อนของคลื่นระหว่างสายอากาศส่งและภาครับ และสายอากาศที่จะนำมาเป็นสายอากาศส่งต้องมีความถี่เรโซแนนซ์เท่ากับความถี่เรโซแนนซ์ของสายอากาศที่ทำการทดสอบ เพื่อให้สายอากาศทั้งสองตัวทำงานได้ดีที่สุดที่ความถี่เดียวกัน เพื่อให้ได้ค่าพารามิเตอร์ต่าง ๆ ที่ถูกต้องมากที่สุด

## បររលាយករណ

- [1] David M. Pozar, **Microwave Engineering 2<sup>nd</sup> Edition**, John Wiley & Sons Inc., New York, pp.132-136 , 1998.
- [2] Constantine A. Balanis, **Advance Engineering Electromagnetics**, John Wiley & Sons, New York, pp.470-484 และ pp.494-494 , 1998.
- [3] Edward A. Wolff, **Antenna Analysis, Slotted Cylinder**.

## ประวัติผู้จัดทำ



นายสมศักดิ์ พงษ์ไพบูลย์ มีวันสุกร์ที่ 7 มิถุนายน พ.ศ. 2528 ภูมิลำเนาอยู่ที่ ตำบลโคกสะอาด อำเภอหนองแขวง จังหวัดสระบุรี สำเร็จการศึกษาระดับมัธยมปลายจากโรงเรียนหนองแขวงวิทยา อำเภอหนองแขวง จังหวัดสระบุรี เมื่อปี พ.ศ. 2545 ปัจจุบันเป็นนักศึกษาชั้นปีที่ 4 สาขาวิศวกรรมโทรคมนาคม สำนักวิชา วิศวกรรมศาสตร์ มหาวิทยาลัยเทคโนโลยีสุรนารี



นางสาวเมทินี จำแจ้ง เกิดเมื่อวันพุธที่ 10 พฤษภาคม พ.ศ. 2527 ภูมิลำเนาอยู่ที่ ตำบลพราณกระต่าย อำเภอพราณกระต่าย จังหวัดกำแพงเพชร สำเร็จการศึกษาระดับมัธยมปลายจากโรงเรียนนวมินราชทิศ มัชฌิม อำเภอเมือง จังหวัดนครสวรรค์ เมื่อปี พ.ศ. 2545 ปัจจุบันเป็นนักศึกษาชั้นปีที่ 4 สาขาวิศวกรรมโทรคมนาคม สำนักวิชา วิศวกรรมศาสตร์ มหาวิทยาลัยเทคโนโลยีสุรนารี